GM 59985

RAPPORT GEOLOGIQUE, PROJET MINES MADELEINE OUEST

Documents complémentaires

Additional Files



Licence

License

Cette première page a été ajoutée
au document et ne fait pas partie du
rapport tel que soumis par les auteurs.

Énergie et Ressources naturelles
Québec

PAPPORT GÉOLOGIQUE
PROJET MINES MADELEINE OUEST
2001-B3-901

REÇU AU MRN
2 7 MAI 2002
BUREAU DU REGISTRAIRE

FONDS RÉGIONNAL D'ASSISTANCE À LA PROSPECTION MINIÈRE DE LA GASPÉSIE ET DES ÎLES DE LA MADELEINE



MRN-GÉOINFORMATION 2003

GM 59985

OCTBRE 2001

Par : RENAUD BÉLAND, technicien géologue
JEAN-PAUL BARRETTE, géologue

INTRODUCTION

Le Fond régional d'assistance à la prospection minière de la Gaspésie et des Iles de la madeleine (FRAPMGIM) a acquis à l'automne 1999 une propriété minière constituée d'un bloc de 75 claims contigus à l'ouest de l'ancienne propriété des Mines Madeleine dans le canton de Boisbuisson en Gaspésie. À la fin de l'été 2000, le FRAPMGÎM a jalonné le bloc "C", correspondant au site d'exploitation de la mine, couvrant ainsi l'ensemble de l'ancienne opération minière des Mines Madeleine et portant ainsi le nombre de claims de la propriété Mines Madeleine Ouest à 76.
Les travaux de prospection, de décapage, d'échantillonnage et d'analyses exécutés durant la saison estivale de 2001 et décrit dans ce rapport, font suite à une compilation. des informations centrée sur les travaux de sondage aux diamants exécutés jusqu'à aujourd'hui que nous avons exécuté sporadiquement au cours du mois de mai 2001.

LOCALISATION ET ACCÈS

La propriété actuelle est composé de 83 claims contigus qui chevauche les cantons de Boisbuisson et de Lapotardière dans le district électorale de Gaspé dans la province de Québec. La propriété couvre une superficie totale de 1393 hectares. La limite orientale de la propriété est adjacente au Parc de conservation de la Gaspésie. Vers l'ouest, la propriété est limitée par un bloc de claims détenu par le groupe Pelletier (figure 2). Le nord et le sud de la propriété sont libre de jalonnement.
L'accès à la propriété se fait facilement par le biais d'une route secondaire asphaltée rejoignant la route 299 à la hauteur du Gîte du Mont Albert. À l'intérieur de la propriété, il est possible de circuler en camion à quatre roues motrices et surtout en véhicule tout-terrain sur un certain nombre d'anciens chemins d'exploration minière et d'exploitation forestière. La topographie est très accentuée et le couvert végétal dense est composé en bonne partie de conifères.

DESCRIPTION DES TRAVAUX DE PROSPECTION

Les informations recueillit lors de la compilation, nous ont permis de cibler des secteurs présentant un intérêt certain pour des travaux d'exploration minière. La première étape de notre intervention, consiste à prospecter les secteurs ciblés afin d'expliquer les anomalies géochimiques, géophysique et de localiser les excavations. Compte-tenue de leur contexte géologique spécifique, les secteurs furent divisés;

Les grès feldspathiques de l'unité des Pics secteur centre

Nous invitons le lecteur à consulter la carte de compilation qui accompagne ce rapport. Le grès feldspathiques de l'unité des Pics situé au sud des roches basaltique s'étendent

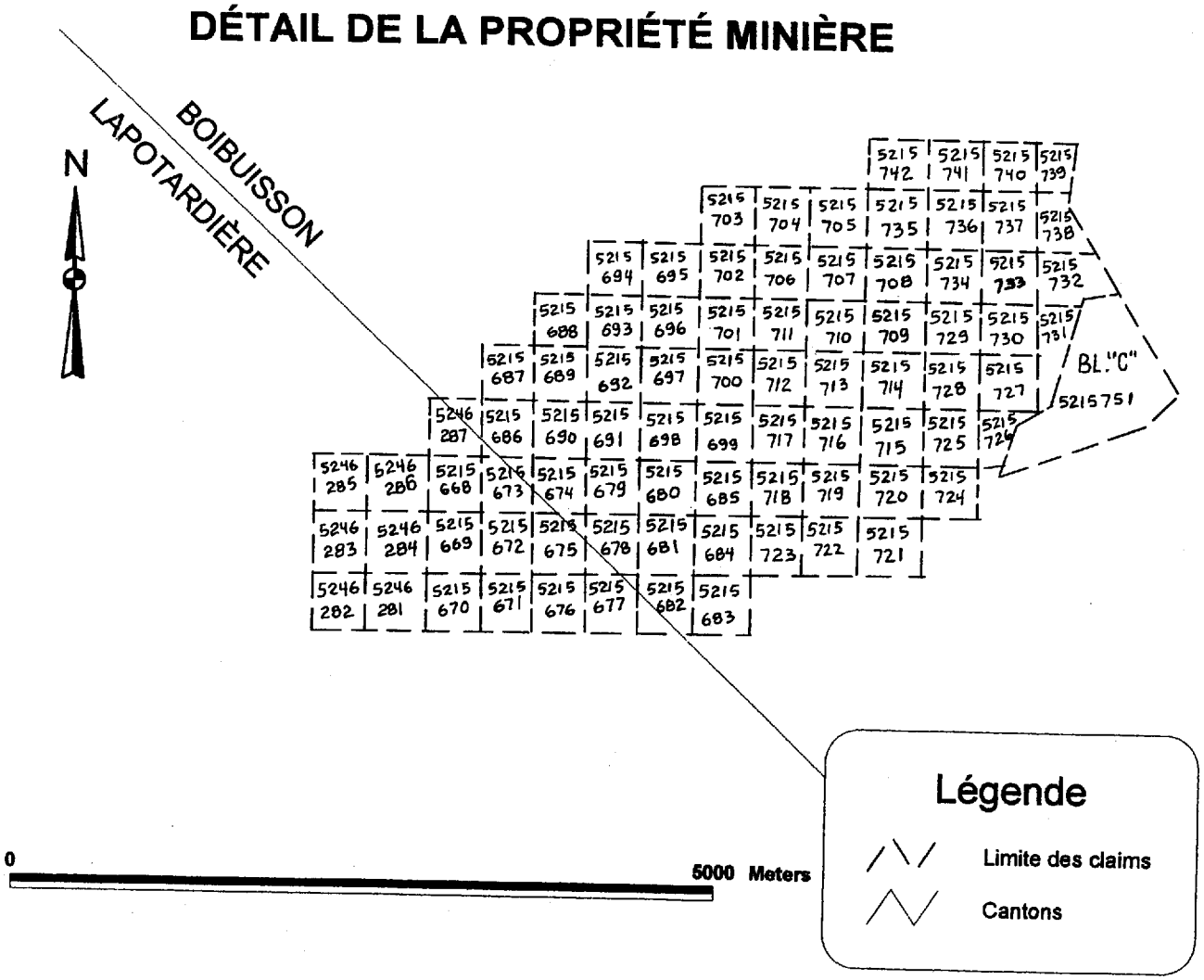

DÉTAIL DE LA PROPRIÉTÉ MINIÈRE
BOIBUISSON
LAPOTARDIÈRE
N
BL."C"
5215751
0
5000 Meters
Légende
Limite des claims
Cantons

Figure 2

en surface de l'ancienne exploitation minière sur près de 5 km en direction sud-ouest. Suite à une campagne de 17 forages effectuée au début des années 1980 par Mines Madeleine (GM 37800) un gîte minéralisé de 400 000 tonnes titrant 0.24 % cuivre est prouvé dans cet horizon stratigraphique. Cette minéralisation en malachite, chalcopyrite disséminée est localisée à environ 2 km à l'ouest de l'ancienne exploitation minière. Selon les auteurs, (Naassana, F, G, Blackburn, A) une extension de la zone minéralisée vers l'ouest ou vers l'est semble peu probable mais compte-tenue de l'aspect stratigraphique de la minéralisation, le secteur sud demeure une bonne cible d'exploration.

Le pendage des strates dans ce secteur varie de 45^0 à 70^0 vers le sud. La topographie, très accentuée dans la même direction, suit presque parallèlement l'horizon de grauwacke qui demeure à un niveau relativement peu profond sur plusieurs centaines de mètres vers le sud à partir de la zone minéralisée en surface.
L'axe d'une anomalie magnétique aéroportée suggère que la structure cassante d'orientation générale nord-sud déjà cartographiée en surface se poursuive vers le sud. Cette faille passe immédiatement à l'est du dépôt et semble limiter la zone minéralisée.

Selon le levé de Mines Madeleine, une anomalie de sol en cuivre d'environ 250m X 50m est localisée un peu au sud du gîte mentionné ci-dessus. À proximité, cinq anomalies de Polarisation Provoquée montrent une concordance avec la stratigraphie.

La première étape de notre prospection au marteau fut de se familiariser avec le type de minéralisation. Le secteur de la zone minéralisée à donc été vérifié et des échantillons représentatifs furent recueillit. Au sud de la zone minéralisée, un champ de blocs d'une épaisseur considérable recouvre le secteur de l'anomalie de sol en cuivre, la prospection au marteau y est très difficile. Nous avons donc prospecté le ruisseau d'orientation nord-sud situé le plus près à l'ouest du dépôt. Plusieurs affleurements de mudstone vert et gris, magnétiques et exempt de minéralisation sont visibles dans la partie la plus au nord près du sommet de la montagne. À une centaine de mètres en aval de la malachite et des traces de chalcopyrite sont visibles dans les fractures d'un bloc anguleux de mudstone (RB 1046). La tranchée A et B planifié dans ce secteur demeurent justifiées.

Dans le secteur centre sud une anomalie de sol en zinc, argent a suscité notre intérêt. Cette anomalie est localisée au-dessus des mudstones rythmés, sédiments hôtes du gisement exploité par Mines Madeleine. Les nombreux affleurements dans le secteur montrent que les sédiments sont recoupés par plusieurs intrusions mafique et felsique. De faibles minéralisations de pyrite et de chalcopyrite remplissent les micro-fractures des sédiments près des contacts avec les intrusions et l'altération des sédiments semble très limité de chaque côté des intrusifs. Comme cette minéralisation est probablement la source des anomalies de géochimie de sol, la pertinence de faire du décapage (Tranchée F) dans ce secteur ne nous paraît plus justifiable.

Les grès feldspathiques de l'unité des Pics secteur ouest

Le secteur d'intérêt se situe immédiatement à l'extérieur de la limite ouest du levé effectué par Mines Madeleine et vise la même unité stratigraphique de grauwacke. Ce secteur a fait l'objet de travaux d'exploration durant les années soixante par la compagnie Credo Mining Group. Durant la saison estivale de 1966, des levés de géochimie de sol et magnétique sont conduit et plusieurs anomalies magnétiques et de géochimie de sol en cuivre coïncident. Durant la même année, un levé de polarisation provoquée et de résistivité met en évidence plusieurs anomalies de chargeabilité élevées. Suite à ces résultats encourageant une campagne de 8 forages (H-1 à H-8) est entreprise l'année suivante. Les minéralisations en cuivre interceptées lors de cette campagne motive la compagnie et en 1968 une deuxième campagne de forage est entreprise (340-68-1 à 340-68-6). Dans les journaux de sondage de cette campagne de forages, (GM 23458) la présence de minéralisation en cuivre sous forme de Chalcopyrite, bornite, chalcosine et cuivre natif est notée et quelques fois échantillonnée cependant aucun résultat d'analyse n'apparaît.

Ce secteur de la propriété fut donc prospecté, mais l'absence d'affleurement dans les environs immédiats des anomalies de sol en cuivre et des forages nous pousse à proposer du décapage afin d'expliquer ces anomalies. (Voir travaux de décapage plus loin dans ce rapport)

Secteur nord de la bande volcanique de l'unité des Pics

Immédiatement au nord des roches basaltique de l'unité des pics, nous retrouvons plusieurs indices minéralisés en zinc, cuivre et plomb soit dans un calcaire dolomitique ou dans un grès quartzitique de la Formation de Dalibaire. Sur l'ensemble des indices, quatre ont fait l'objet d'une fiche de gîte. Le secteur nord a été couvert par des levés ponctuels de géochimie de sol, de polarisation provoquée et de magnétométrie au sol. Plusieurs anomalies de géochimie de sol sont présentent dans ce vaste secteur et la distance qui sépare chacune d'elle du pluton granitique des McGerrigle affecte leur composition. Les anomalies surtout en cuivre passe graduellement au cuivre, zinc, plomb en s'éloignant de l'intrusif. Nous avons dans un premier temps, prospecté les anomalies de sol et les indices en positionnant des tranchées aux endroits accessibles. Cette partie de notre travail est décrite un peu plus loin dans le rapport. Nous avons prospecté ensuite les secteurs anomaliques et difficilement accessible.

Selon la compilation de Géomines (GM 38443), dans la partie extrême est de la propriété une anomalie de sol en cuivre suit le contact entre les basaltes et les sédiments. Cette anomalie fait 1400 m de long sur 100 m de large. Environ la moitié de cette anomalie se situe à l'intérieur des limites actuelles du parc de conservation. Nous avons effectué notre première traverse par le sud via une route qui mène à la tour de

télécommunication. Nous avons traversé le flanc nord du Petit Mont Ste-Anne afin de localiser le contact volcano-sédimentaire. À part quelques traces de chalcopyrite, malachite dans les fractures du basalte, aucune minéralisation significative n'a été vue dans les sédiments adjacents. Nous avons planifié la seconde traverse à partir du secteur nord. Le secteur nord est fortement boisé et plutôt marécageux. Seul un intrusif (RB 1025) mafique d'un azimut apparent de 300^0 affleure dans la partie la plus abrupte. Du décapage sur le contact volcano-sédimentaire nous paraît toujours nécessaire.

La planification de départ prévoyait trois tranchées (G-H-I) dans le secteur de l'indice no.23. Cette partie de la propriété est couverte par une végétation commerciale sur plusieurs centaines de mètres autour de l'indice, l'accès avec de la machinerie serait pour l'instant trop onéreux.

Lors de la prospection au marteau de ce secteur, une certaine quantité de blocs anguleux de mudstone silicifié avec de la rouille (RB 1032) dans les fractures ont été trouvés sous la mousse dans le bas de la pente à environ 150 m au nord du contact volcano-sédimentaire présumé. En se dirigeant vers le sud, les blocs deviennent mélangé. Le mudstone silicifié est toujours présent et l'apparition de blocs de grès quartzitique est graduelle. Les fractures dans le grès sont parfois minéralisé en malachite, chalcopyrite. Les blocs de grès (RB 1033) deviennent plus imposant ($\pm$ 1 m^3) laissant supposer la proximité de l'affleurement et du contact entre les basaltes et les sédiments.

Après avoir localisé le site probable du sondage S-99, nous sommes descendu par le ruisseau et avons localisé un affleurement qui correspondrait à l'indice no.23. Cet affleurement (RB 1035) de mudstone silicifié de couleur gris foncé, contient une faible minéralisation lenticulaire de pyrite, pyrrhotine, chalcopyrite. Dans le lit du ruisseau en direction nord, les affleurements sont nombreux à partir de cet indice et sont composés principalement de mudstone silicifié de couleur foncée en alternance avec des calcaires silteux généralement de couleur foncé parfois pyriteux. Les alternances de mudstones silicifiés diminue progressivement vers le nord. Le dernier affleurement visible est localisé sur une falaise abrupte de près de 3 mètres. (Voir arrêt no.38 à l'annexe 2).

Le site des trois forages effectués par la Twin Mountain Uranium Mines situés à 400 m à l'ouest a été visité et un tubage est visible. Malheureusement le secteur est situé au bas de la pente et aucun affleurement n'a été répertorié.

DESCRIPTION DES TRAVAUX DE DÉCAPAGE

La compilation des informations exécutée préalablement et la prospection qui a suivi, nous ont permis de mieux cibler les secteurs de décapage. Mis à part les facteurs géologiques, les facteurs environnementales et les aires boisés à vocation commerciale ont directement influencé la position des nouvelles tranchées. Une rétrocaveuse de marque John Deere fut utilisée pour les travaux de décapage, excepté pour les tranchées E et E-2.

Les grès feldspathiques de l'unité des Pics secteur centre

Afin de respecter la réglementation sur les travaux de décapage à proximité d'un cours d'eau, la tranchée B tel que planifiée au départ fut déplacée vers le sud. Dans cette tranchée (voir la figure 4) on peut voir du nord au sud une unité sédimentaire de siltstone gris localement calcareux fortement magnétique à laquelle se superpose une séquence plus terrigène composé de siltstone et de grès parfois calcareux et rarement magnétique. Une faille orientée à 90^0 parallèle à la stratigraphie marque le contact inférieur avec une quartzite de couleur crème tachetée de rouille. Cet horizon est suivi par une séquence d'interlits de grauwacke et de conglomérats magnétiques de couleur rouge à la base et par un lit plus épais de grauwacke magnétique de couleur rouge vers le sommet. Finalement la tranchée se termine dans un mudstone gris verdâtre dégagé sur environ 20 mètres. Dans cette tranchée aucune minéralisation cuprifère n'a été observée et un échantillon de siltstone gris fut recueillit (47872) mais le contenu en cuivre s'avère très faible (132 ppm). Les anomalies de géochimie de sol et de polarisation provoquée localisés directement dans le ruisseau demeurent inexpliquées.

Un peu plus au sud, la tranchée A visait à expliquer une anomalie de sol en cuivre, zinc et argent. Malheureusement, l'épaisseur du mort terrain dans ce secteur dépasse les 6 mètres et nous empêche d'atteindre le socle rocheux. La tranchée A fut remblayée.

Les grès feldspathiques de l'unité des Pics secteur ouest

Dans le secteur ouest, deux tranchées étaient planifiées. La tentative pour atteindre le socle rocheux s'étant avérée infructueuse, la tranchée D fut abandonnée.
Le secteur de la tranchée C situé plus haut dans la montagne a été facile a dégagé, le couvert de mort terrain variant de 1 à 2 mètres. La tranchée est orientée à 120^0 et mesure 186 mètres de longueur (Voir la figure 5). À partir du nord jusqu'au centre, les séquences sédimentaires sont plutôt grossières; grès, grauwacke avec un degré de

TRANCHÉE B

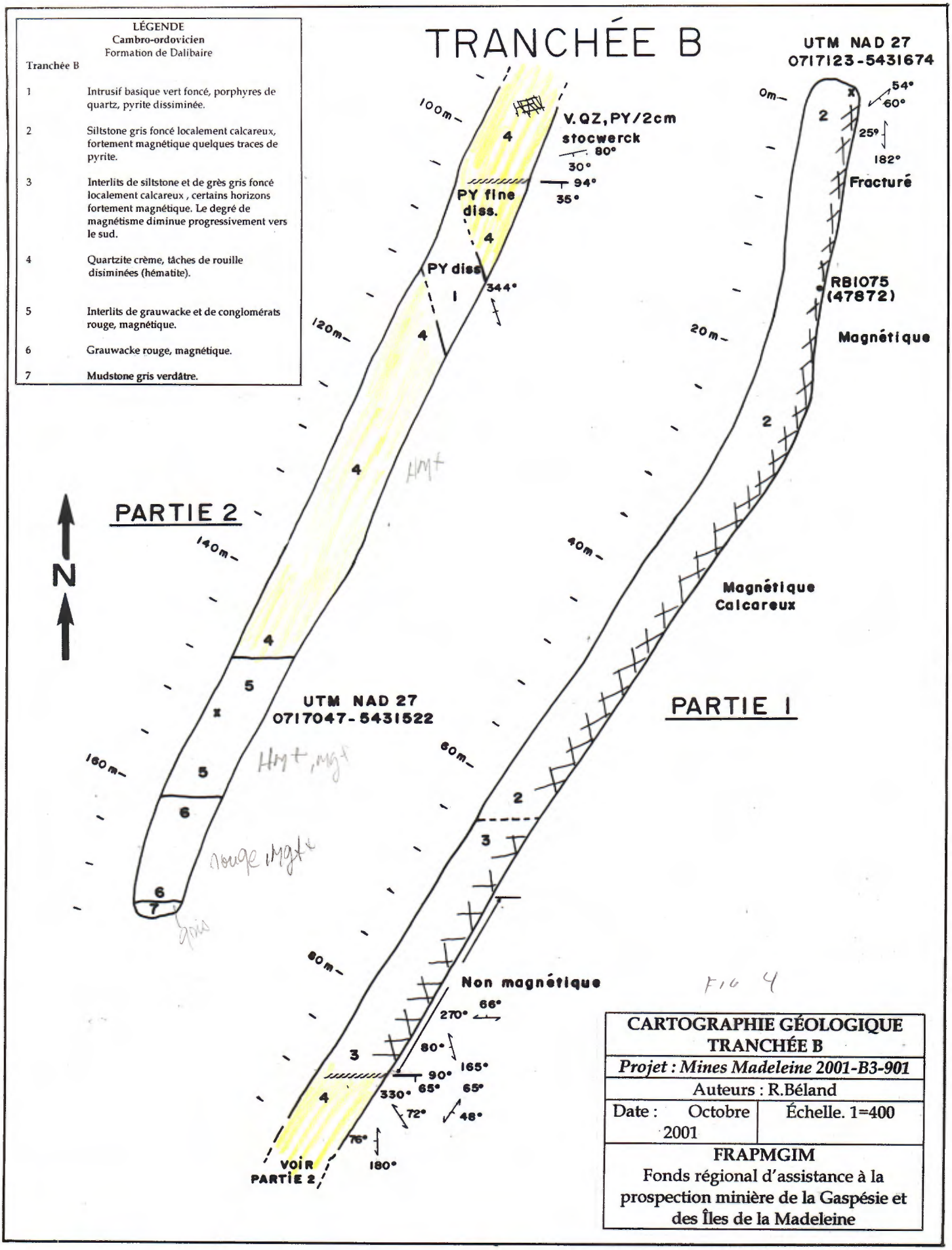


Fig 4

CARTOGRAPHIE GÉOLOGIQUE TRANCHÉE B	
Projet : Mines Madeleine 2001-B3-901	
Auteurs : R.Béland	
Date : Octobre 2001	Échelle. 1=400
FRAPMGIM Fonds régional d'assistance à la prospection minière de la Gaspésie et des Îles de la Madeleine	

Microfilm

PAGE DE DIMENSION HORS STANDARD

MICROFILMÉE SUR 35 MM ET

POSITIONNÉE À LA SUITE DES

PRÉSENTES PAGES STANDARDS

Numérique

PAGE DE DIMENSION HORS STANDARD

NUMÉRISÉE ET POSITIONNÉE À LA

SUITE DES PRÉSENTES PAGES STANDARDS

magnétisme qui varie de fort à moyen. Les alternances sédimentaires de la demi-sud montrent une granulométrie plus fine; mudstone, argile et le magnétisme est moins constant. Indépendamment de leur granulométrie, les unités alternent de la couleur rouge à la couleur verte et gris-verdâtre et deviennent minéralisés en malachite, chalcosine. Dans cette tranchée quatre zones minéralisé ont été mises à jour.

La zone la plus au nord est localisé dans un grauwacke gris foncé, non calcareux et fortement magnétique. La minéralisation en malachite est présente sur toute la largeur de la zone qui fait 7,5 mètres de large. La minéralisation en chalcosine est difficilement visible et la chalcopyrite est absente. La roche étant plutôt fracturée, nous avons opté pour l'échantillonnage par éclats à l'aide d'un ciseau à froid. Nous avons choisi arbitrairement une longueur de 0,5 mètre par échantillon. La **zone A** montre une teneur moyenne de **0.59 % Cu / 7 mètres** avec une valeur maximale de **1,81 % Cu / 0,5 m.**

La roche hôte et le type de minéralisation de la **zone B**, situé 10 m plus au sud est semblable à celle que l'on retrouve dans la zone A. La largeur de la zone est de 1mètre et la teneur moyenne est de **0.70 % Cu / 1 m**.

La **zone C** est situé à une douzaine de mètres au sud. Le sédiment hôte est un mudstone gris moyen avec des interlits minces de magnétite, chalcosine. La zone fait 9 mètres de large et la concentration moyenne est de **0.65 % Cu / 9 m** une valeur de **2.63 % Cu / 1 m** a été obtenue à l'intérieur de cette zone.

La **zone D** est à 60 mètres de la précédente, les sédiments sont plus argileux, de couleur vert avec un reflet légèrement bleuté et cette zone est fortement cisaillé. La zone fait 3 mètres de large. Des traces de chalcopyrite sont visibles dans les fractures. La teneur moyenne est de **0.23 % Cu / 3 m**.

Les sédiments adjacents aux trois zones minéralisée les plus au nord A, B, C sont de couleur rouge et présentent un degré de magnétisme de moyen à élevé. Cependant, aucun signe de minéralisation n'est visible, même près du contact avec les zones minéralisée. Afin de contre-vérifier cette affirmation, 5 échantillons furent analysés (47873, 47874, 47889, 47890, 47891) et les résultats sont tous négatifs.

Dans la partie nord de la tranchée C à 20 m au nord de la zone A, une petite zone de 30 cm a retenu notre attention. Il s'agit d'une bande de siltstone gris moyen qui contient une minéralisation nodulaire de magnétite et chalcosine. Les nodules d'environ 50 mm X 100 mm occupe 2% de la surface de la roche et sont allongées dans le sens du litage. La magnétite occupe le centre du nodule et est entouré de chalcosine. Un échantillon choisi a retourné une valeur de **3.28 % Cu**.

Secteur nord de la bande volcanique de l'unité des Pics

Banc de calcaire dolomitique

Suite à la prospection, des tranchées ont été annulées et d'autres déplacés. Les tranchées G-1, G-2, I-1, I-2, I-3, I-4 ont pour but de fournir des explications sur les anomalies géochimiques et géophysique qui surplombent les bancs de calcaires dolomitiques. Ces bancs sont l'hôte de plusieurs indices minéralisés en zinc et plomb dans cette partie de la propriété.

Tranchée G-1
Cette tranchée avait pour but d'évaluer la puissance d'un banc de calcaire dolomitique à patine orangée, de connaître sont extension vers l'est et sa coïncidence avec une anomalie de sol en zinc, cuivre. Après le décapage (voir la figure 6), le banc de dolomie de l'indice minéralisé décrit dans la fiche de gîte 22G/1-15 s'est révélé d'une puissance d'environ 10 mètres, sa direction fait 30^0 avec un pendage de 52^0 vers le sud. L'un des échantillons choisis de la partie occidentale de la tranchée près du contact supérieur a retourné une valeur de **2.98 % Pb et 5.87 % Zn**. La dolomie a été suivie, vers l'est, sur près de 30 mètres continus jusqu'à un intrusif mafique. Suite à jeu de décrochement et au changement de direction de la tranchée, le banc réapparaît au chaînage 80 m, mais la minéralisation dans le banc se limite à une veine de quartz, calcite avec un peu de galène. La tranchée se poursuit sur une distance de 25 m au-delà du contact supérieur du banc. Les unités sédimentaires alternent entre la dolomie et l'argile en lits de faible puissance et deviennent nettement plus argileux au sommet. Compte-tenu de l'absence de minéralisation et de la direction de notre tranchée qui suit maintenant la stratigraphie, la tranchée G-1 est interrompu et reprendra à environ 100 m plus au nord-est et prend le nom de tranchée G-2

Tranchée G-2
La tranchée G-2 est localisé dans l'extension est de l'anomalie de sol en zinc, cuivre (Voir la figure 7). En théorie elle reprend le dernier niveau stratigraphique cartographié à la limite est de la tranchée G-1. Les premiers 16 mètres d'affleurements sont des sédiments calcaires avec une texture rubannée. La tranchée change de direction et longe un intrusif mafique sur une quarantaine de mètres. La tranchée se poursuit sur une cinquantaine de mètres à l'est du contact et recoupe des séquences de sédiments à grains fins parfois calcareux. Le litage est souvent turbulent parfois schisteux et ardoisier. Aucune minéralisation significative n'a été vue dans cette tranchée.

Tranché I-1 à I-4

Les tranchées I sont localisées à environ 1,5 km à l'est des tranchées G. Une anomalie de géochimie de sol en cuivre, zinc recouvre un niveau de calcaire dolomitique hôte d'un indice minéralisé connu (Fiche de gîte 22G01-18). Trois axes d'anomalie PP s'allongent

Microfilm

PAGE DE DIMENSION HORS STANDARD

MICROFILMÉE SUR 35 MM ET

POSITIONNÉE À LA SUITE DES

PRÉSENTES PAGES STANDARDS

Numérique

PAGE DE DIMENSION HORS STANDARD

NUMÉRISÉE ET POSITIONNÉE À LA

SUITE DES PRÉSENTES PAGES STANDARDS

selon la stratigraphie du secteur. Deux se situent près du contact volcano-sédimentaire et une passe par le centre de l'anomalie de géochimie de sol.

Tranché I-1

La tranchée I-1 fut orientée dans le but de positionner le contact entre les sédiments et les basaltes et afin de recouper les anomalies PP. Le point de départ de la tranchée I-1 est situé près de l'indice minéralisé connu. Elle est orientée à 115^0 et fait 168 m de long (Voir la figure 8). Dès le départ de la tranchée les sédiments calcareux sont légèrement dolomitisés sur une dizaine de mètres et quelques traces de malachite, chalcopyrite sont visibles dans les fractures surtout près du contact avec un intrusif mafique d'environ 25 cm orienté à 308^0. Ensuite les roches sédimentaires alternent entre les calcaires argileux et silteux. Certaines zones sont schisteuses et le litage est souvent très turbulent. Aucune minéralisation disséminée d'importance pouvant expliquer l'anomalie PP n'a été dégagée. De plus la topographie accidentée des lieux nous a empêché d'atteindre les basaltes localisé plus au sud.

Tranché I-2

Le but de la tranchée I-2 est de dégager un indice déjà connu de chalcopyrite, malachite, pyrite et pyrrhotine. Cette minéralisation est un remplissage de micro-fractures dans un calcaire dolomitique. De plus l'indice correspond avec la limite ouest d'une anomalie de sol en cuivre, zinc. Le décapage débute près de la tranchée I-1 et se dirige vers l'est (voir la figure 9). La dolomitisation du banc calcaire n'est pas uniforme, deux bancs de faible épaisseur sont fortement dolomitisés et de la calcite recristallisée est présente sous forme de veines. Les fractures sont un peu plus minéralisées près des contacts avec un intrusif mafique parallèle à celui dégagé dans la tranchée I-1. À partir du contact supérieur du banc de calcaire dolomitique, nous retrouvons un calcaire argileux de couleur foncé, très fracturé et graphiteux. La tranchée suit le litage qui fait 76^0 avec un pendage sud de 45^0 sur environ 50 mètres et s'arrête.

Tranché I-3

Comme l'anomalie de sol et la minéralisation dans le banc de dolomie coïncident, une ligne d'axe passant par le centre de cette anomalie fut rubannée sur le terrain. La tranchée I-3 fut implantée à l'intersection de cette ligne avec le chemin d'accès. De plus un axe d'anomalie Polarisation Propvoquée passe à proximité (voir la figure 10).
Le mort terrain dans ce secteur est constitué de blocs anguleux de basalte vert foncé d'une épaisseur difficile à évaluer. À cause de la topographie accentuée l'excavation se remplit de blocs au fur et à mesure que l'on creuse la tranchée. Afin d'éviter un éboulis les travaux furent abandonnés et le décapage remblayé.

Microfilm

PAGE DE DIMENSION HORS STANDARD

MICROFILMÉE SUR 35 MM ET

POSITIONNÉE À LA SUITE DES

PRÉSENTES PAGES STANDARDS

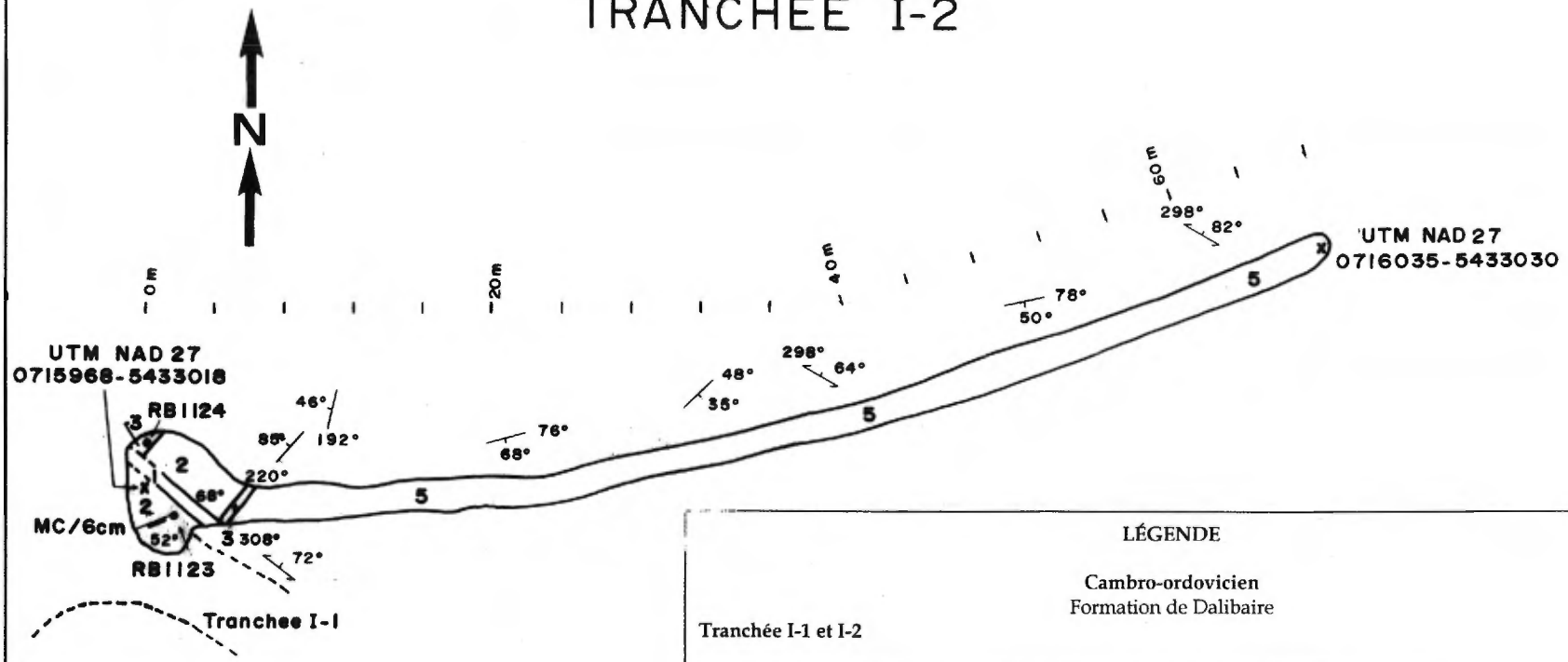
Numérique

PAGE DE DIMENSION HORS STANDARD

NUMÉRISÉE ET POSITIONNÉE À LA

SUITE DES PRÉSENTES PAGES STANDARDS

TRANCHÉE I-2



CARTOGRAPHIE GÉOLOGIQUE TRANCHÉE I-2	
Projet : Mines Madeleine 2001-B3-901	
Auteurs : R.Béland	
Date : Octobre 2001	Échelle. 1=400
FRAPMGIM Fonds régional d'assistance à la prospection minière de la Gaspésie et des Îles de la Madeleine	

LÉGENDE

Cambro-ordovicien
Formation de Dalibaire

Tranchée I-1 et I-2

1 Intrusif basique, foncé trace de malachite plus abondante près des contacts.

2 Calcaire silteux gris moyen, mince interlits de couleur plus pâle, légèrement dolomitisé, trace de chalcopyrite et malachite sur plans de fractures.

3 Calcaire fortement dolomitisé, veines de calcite noir

4 Calcaire silteux, gris moyen interlité avec une argile noir. Le litage est plus plissé et montre des plans de glissement intraformationnelle. Plusieurs amas de calcite recristalisée sont visible dans les bancs de calcaire. Trace de pyrite dissiminée.

5 Calcaire argileux gris foncé à noir, très de fracturé, graphiteux, quelques veines de quartz et calcite, pyrite nodulaire largement dispersées.

6 Alternance de lits très turbulent de calcaire argileux et de calcaire silteux (turbidite) de couleur foncé.

Microfilm

PAGE DE DIMENSION HORS STANDARD

MICROFILMÉE SUR 35 MM ET

POSITIONNÉE À LA SUITE DES

PRÉSENTES PAGES STANDARDS

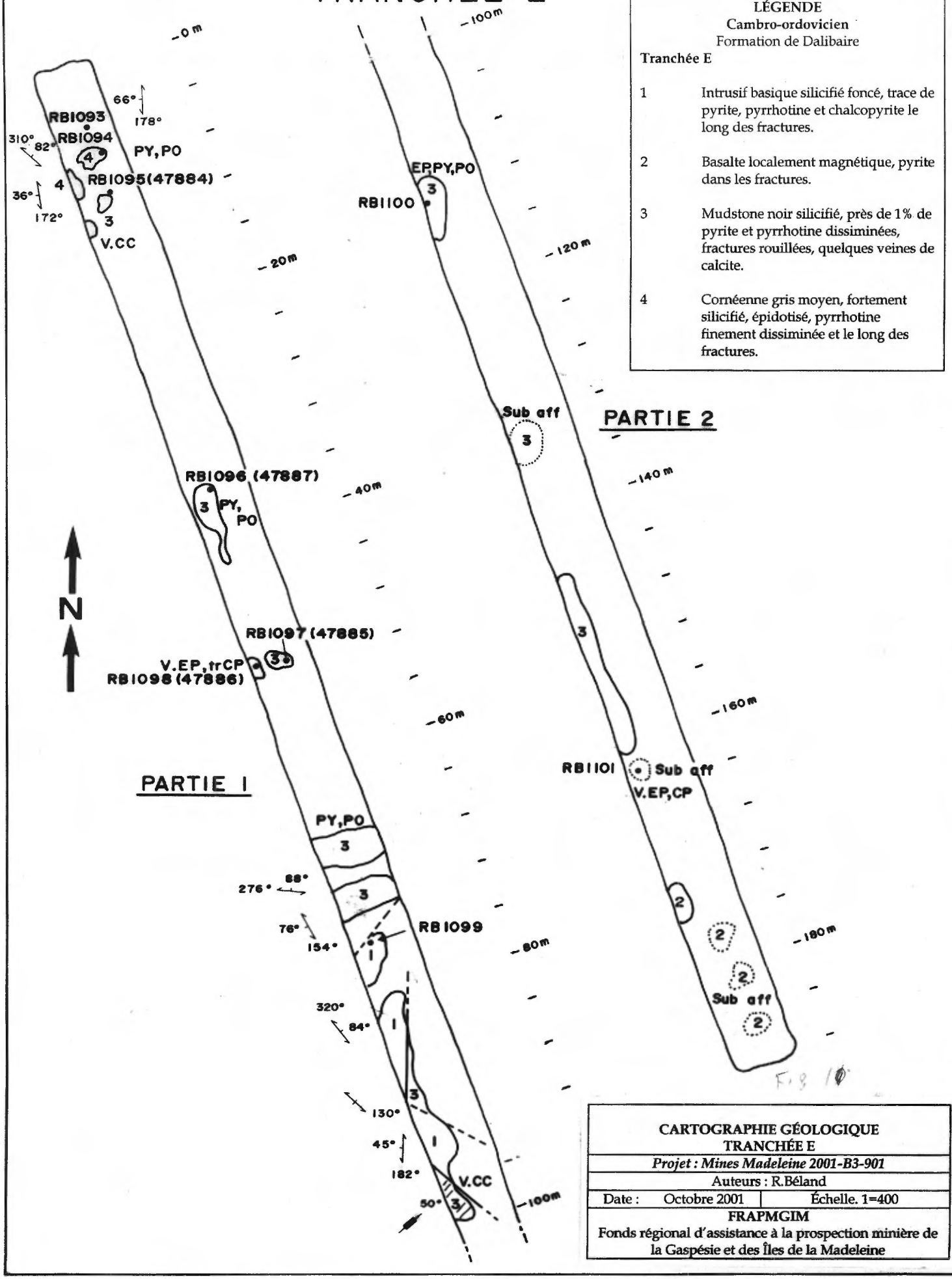
Numérique

PAGE DE DIMENSION HORS STANDARD

NUMÉRISÉE ET POSITIONNÉE À LA

SUITE DES PRÉSENTES PAGES STANDARDS

TRANCHÉE E



LÉGENDE
Cambro-ordovicien
Formation de Dalibaire
Tranchée E

1	Intrusif basique silicifié foncé, trace de pyrite, pyrrhotine et chalcopyrite le long des fractures.
2	Basalte localement magnétique, pyrite dans les fractures.
3	Mudstone noir silicifié, près de 1% de pyrite et pyrrhotine dissiminées, fractures rouillées, quelques veines de calcite.
4	Cornéenne gris moyen, fortement silicifié, épidotisé, pyrrhotine finement dissiminée et le long des fractures.

CARTOGRAPHIE GÉOLOGIQUE
TRANCHÉE E

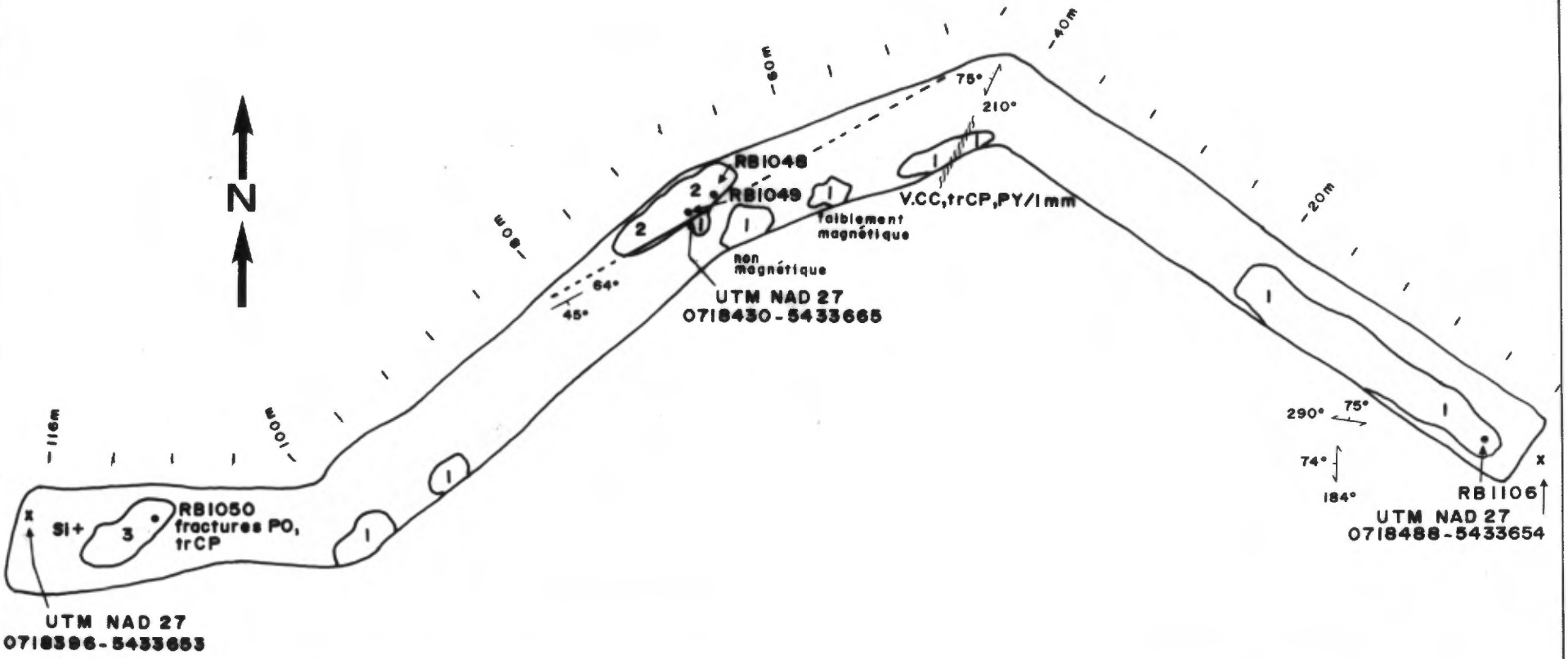
Projet : Mines Madeleine 2001-B3-901

Auteurs : R.Béland

Date : Octobre 2001 | Échelle. 1=400

FRAPMGIM
Fonds régional d'assistance à la prospection minière de la Gaspésie et des Îles de la Madeleine

TRANCHÉE E-2



LÉGENDE
Cambro-ordovicien
Formation de Dalibaire

Tranchée E-1

1	Basalte vert foncé, partiellement magnétique, amygdules de chlorite et épidote.
2	Grès quartzitique, calcareux, de couleur crème.
3	Mudstone silicifié, gris moyen.

CARTOGRAPHIE GÉOLOGIQUE TRANCHÉE E-2	
Projet : Mines Madeleine 2001-B3-901	
Auteurs : R.Béland	
Date : Octobre 2001	Échelle. 1=400
FRAPMGIM Fonds régional d'assistance à la prospection minière de la Gaspésie et des Îles de la Madeleine	

Fig 12

Tranché I-4

À environ 56 mètres à l'est de la tranchée I-3, la direction de l'accès et la topographie, nous permettent de faire une autre tentative pour atteindre le socle et expliquer l'anomalie de sol en cuivre, zinc. La tranchée suit une direction plus ou moins nord-sud et fait 68 mètres de longueur. La moitié sud de la tranchée montre un affleurement continu d'une roche intrusive mafique non magnétique de couleur foncée. Le contact ouest de cet intrusif n'est pas connu mais la direction du contact est fait environ 320^0. Les sédiments adjacents sont une alternance de calcaire silteux et d'argile. Une douzaine de mètres plus à l'est, les sédiments sont très fracturés et graphiteux. Une bande de sédiment fortement cisaillés et rouillés de 1 cm orientée à environ 4^0 marquerait la limite ouest de cette zone de faille.

Le contact volcano-sédimentaire

Les tranchées E et E-2 ont pour but de vérifier la source d'une anomalie de sol en cuivre et de préciser le contact entre les basaltes et les sédiments à l'extrême est de la propriété. Pour atteindre ce secteur, il faut que la machinerie se déplace sur son propre pouvoir sur environ huit kilomètres. Un bulldozer de marque Komatsu fut utilisé pour le décapage dans ce secteur.

Tranchée E

La tranchée E qui mesure 188 mètres de longueur est situé dans un ancien chemin d'accès (voir la figure 11). L'ensemble des affleurements dégagés sont d'origine sédimentaire. La proximité du pluton granitique des Monts McGerrigle s'exprime par une forte silicification des sédiments. La pyrite et la pyrrhotine est largement dispersés sur l'ensemble des affleurements. Le contact volcano-sédimentaire n'a pas été dégagé car la route tourne brusquement vers l'ouest dans le secteur du contact probable. Deux intrusifs mafique ont été mis à jour dans la partie sud de la tranchée. Le premier est orienté plus ou moins nord-sud et le second fait 130^0. Aucune minéralisation importante pouvant expliquer la présence de l'anomalie de géochimie de sol n'a été mis en évidence dans cette tranchée.

Tranchée E-2

La tranchée E-2 est localisé à 250 mètres plus à l'ouest. Elle a la forme d'un S aplatie en longeant le contact entre les roches sédimentaires et les volcanites (voir la figure 12). Le contact entre ces deux formation est net. D'un côté la basalte est vert foncé parfois magnétique contenant des amygdules de chlorite et d'épidote. Le sédiment sous jacent est un grès quartzitique calcareux de couleur crème. La puissance du banc n'est pas évaluée avec précision à cause de la pente du terrain qui est trop abrupte pour le

passage de l'équipement. À l'ouest après avoir passé une zone humide, nous avons dégagé un mudstone gris moyen silicifié. La minéralisation rencontrée dans cette tranchée se résume à quelques filonnets de pyrite avec des traces de pyrrhotine et de chalcopyrite. Cette faible minéralisation ne peut expliquer l'anomalie de sol en cuivre qui longe le contact entre les volcaniques et les sédiments.

Tranché H-1 et H-2

Un indice connu (fiche de gîte 22G01-17) est localisé un peu au nord des tranchées. Un affleurement de grès quartzitique dont les fractures sont faiblement minéralisées en malachite, chalcopyrite est en contact concordant avec les basaltes cependant seulement la partie supérieure du grès affleure. De plus au cours de la prospection au marteau un gros bloc anguleux de grès quartzitique contenant une forte concentration en galène et sphalérite disséminés a été découvert dans le ruisseau immédiatement au nord de cet affleurement. Les tranchées sont localisées sur le même horizon stratigraphique et ne sont séparées que de 20 mètres.

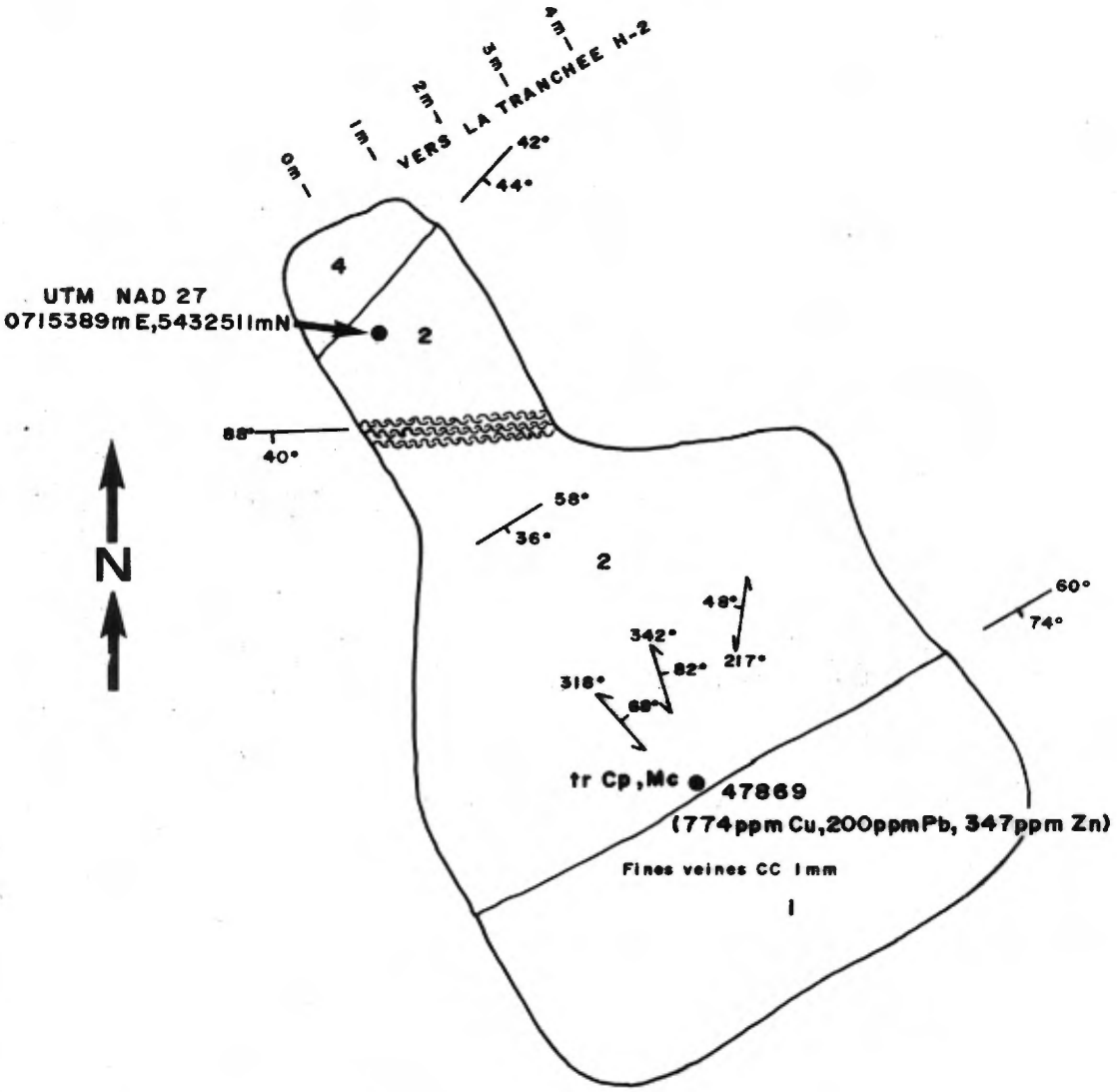
La tranchée H-1, la plus à l'ouest a dégagé le grès sur environ 4 mètres (voir la figure 13). La puissance du banc est d'environ 8 mètres et quelques traces de chalcopyrite sont visibles surtout près du contact avec les roches volcaniques. Un échantillon choisie a retourné 774 ppm Cu, 200 ppm Pb, 347 ppm Zn. La partie inférieure du banc est recoupée par une faille dont la mylonite fait une soixantaine de centimètres.

La tranchée H-2 débute à environ 20 mètres plus à l'est (voir la figure 14). Elle met à jour le banc de grès quartzitique sur environ 25 mètres. Les fractures sont faiblement minéralisées en chalcopyrite, malachite près du contact avec les basaltes comme dans la tranchée H-1. Dans la partie inférieur du banc de grès dégagé, une épaisseur de 3 mètres fortement minéralisée en galène et sphalérite disséminée fut mise à jour. La largeur de cette bande minéralisée diminue progressivement vers l'est mais peut être suivie sur 18 mètres. Les sulfures occupent plus de 50 % du volume total de la roche. De l'échantillonnage par éclats à l'aide d'un ciseau à froid a été pratiqué dans la partie ouest de la tranchée et l'analyse a révélé des teneurs de **3.5% Pb- 0.1 % Zn / 2,5 mètres** et **3.9 % Pb-5.4 % Zn / 3 mètres**. Les échantillons choisis sélectionnés le long de la zone minéralisée ont tous retourné des teneurs élevées en plomb et en zinc. (Référence échantillon 47878 à 47883). L'échantillon numéro 47880 montre une teneur de **2.9 % Pb et 20.9 % Zn.**

DISCUSSION ET RECOMMANDATIONS

Les grès feldspathiques de l'unité des Pics secteur centre.

TRANCHEE H-I



LÉGENDE

Cambro-ordovicien
Formation de Dalibaire

Tranchée H-1 et H-2

1	Basalte vert foncé à noir, localement non magnétique
2	Grès quartzitique crème légèrement rosé, trace de chalcopyrite et de malachite dans les fractures surtout près du contact supérieur.
2A	Grès quartzitique fortement cisaillé, minéralisé en sphalérite et galène avec des traces de chalcopyrite.
3	Calcaire argileux noir
4	Mudstone gris foncé
5	Argilite foncé

K/H 13

CARTOGRAPHIE GÉOLOGIQUE TRANCHÉE H-1	
Projet : Mines Madeleine 2001-B3-901	
Auteurs : R.Béland	
Date : Octobre 2001	Échelle. 1=100
FRAPMGIM Fonds régional d'assistance à la prospection minière de la Gaspésie et des Îles de la Madeleine	

Microfilm

PAGE DE DIMENSION HORS STANDARD

MICROFILMÉE SUR 35 MM ET

POSITIONNÉE À LA SUITE DES

PRÉSENTES PAGES STANDARDS

Numérique

PAGE DE DIMENSION HORS STANDARD

NUMÉRISÉE ET POSITIONNÉE À LA

SUITE DES PRÉSENTES PAGES STANDARDS

Les travaux de prospection et de décapage que nous avons effectué durant la saison 2001 dans ce secteur n'ont pas réellement ajouté de fait nouveaux. L'extension vers le sud de la zone minéralisée de 400 000 tonnes à 0.23% cuivre n'a pu être prouvé par la tranchée B. Comme nous l'avons mentionné précédemment, la position planifié de la tranchée B a dû être modifié afin de respecter les normes environnementale concernant les travaux de décapage a proximité d'un cours d'eau. Les anomalies de géochimie de sol en cuivre et de polarisation provoquée sont localisés très près sinon directement sous le ruisseau. La façon la plus efficace d'atteindre le grauwacke serait d'implanter un forage d'environ 200 mètres sur une direction N 340^0 avec une inclinaison de -60^0. Le collet du trou doit se situé à l'ouest de la faille nord-sud qui semble contrôler la limite orientale du dépôt de cuivre dans l'horizon de grauwacke.

Les grès feldspathiques de l'unité des Pics secteur ouest.

Les travaux de décapage dans ce secteur visaient à dégager une anomalie de sol en cuivre. La tranchée C a mis à jour quatre zones minéralisées qui coïncident très bien avec la limite est de l'une de ces anomalies. Cette anomalie fait plus de 500 mètres de longueur sur 100 mètres de largeur. Les anomalies de géochimie de sol en cuivre ont été investiguée par forage dans les années soixante là ou elle coïncidait avec une anomalie géophysique soit magnétique ou de polarisation provoquée. Les nombreuses anomalies de géochimie de sol en cuivre qui ne se superposaient pas à une anomalie géophysique furent ignorés. Dans la tranchée C la présence de minéralisation se remarque par l'abondance de malachite sur les plans de fractures de la roche. Les sulfures se présentent sous forme de chalcocine finement disséminée dans les sédiments souvent associé à la magnétite. Des traces de chalcopyrite dans les fractures sont visibles à un endroit seulement dans la tranchée C soit dans la zone minéralisée D. Les grains de chalcocine sont très fins et difficile à repérer sur les surfaces non oxydées, ceci pourrait expliquer le peu d'analyse effectué sur les carottes des forages H-1, H-6, H-7, 430-68-1 et 430-68-2. À titre d'exemple, les forages H-6 et 430-68-1 traversent les sédiments situé sous la tranchée C, en se reférant aux journaux de sondage, nous remarquons que la description des unités sédimentaires recoupés par ces forages concordent avec les séquences dégagées dans la tranchée C (voir la figure 15) mais seul les intersections où de la minéralisation en chalcopyrite ou en bornite était visible furent analysés.

La distribution des anomalies de géochimie de sol forme un couloir de direction sud-ouest d'environ 1300 mètres de long sur 200 mètres de large qui n'a pas été investigué sur plus de 1 100 mètres (voir la figure 16). Sur le terrain le positionnement précis des anomalies est difficile, car les opérations forestières ont fait disparaître en grande partie la coupe de ligne de 1967. De plus les méthodes d'analyses utilisées aujourd'hui sont plus précise que la colorimétrie employé lors du levé. Il est donc suggéré de refaire le levé de géochimie de sol. Pour ce faire une ligne de base de 1600 mètres de longueur de même orientation que celle du levé de 1967 devra être coupée. Des lignes transversales à tous les cents mètres dont la longueur varie de 200m à 1000m devront être coupées et

piquetées au 25 m afin de couvrir l'ensemble des anomalies de géochimie de sol en cuivre. Suite aux résultats de cette campagne, du décapage et du forage seront nécessaires.

Secteur nord de la bande volcanique de l'unité des Pics

Banc de calcaire dolomitique

Les tranchées G-1, I-2 ont permis de confirmer la minéralisation en galène et sphalérite dans les bancs de calcaire dolomitique. Cependant la minéralisation semble se limitée à un remplissage des micro-fractures dans le secteur immédiat de nos tranchées. La topographie accentuée à certain endroit et le présence de bois commercial à d'autre ont limité l'accès aux anomalies de sol et de polarisation provoquées dont certaines demeurent inexpliquées. Les séquences de roches calcareuses représentent un milieu réducteur propice à la déposition de sulfures d'origine hydrothermale. Dans le secteur nord de l'unité des pics, la formation de Dalibaire n'a pas été différencié lors de la cartographie. L'étendu et le nombre d'horizons de calcaire sont mal connu de même que les séquences de roches moins perméable qui contrôle la distribution de l'activité hydrothermale. Il est recommandé de cartographié en détail la formation de Dalibaire qui affleure au nord et au sud de l'unité des pics. Rappelons que cette formation est l'hôte du gisement de cuivre exploité par Mines Madeleine.

Le contact volcano-sédimentaire

Le contact volcano-sédimentaire a été dégagé à environ 1 kilomètre à l'est de l'intrusif granitique des McGerrigles. Dans la tranchée E, les affleurements de sédiment montrent une forte silicification mais sont exempt de minéralisation en cuivre. De la pyrite et de la pyrrhotine finement disséminées et sous forme de placage dans les fractures est visible sporadiquement. Cette tranchée n'a pas recoupé le contact volcano-sédimentaire tel que prévu donc le contact qui apparaît sur les cartes géologique devra être déplacé de plus de cent mètres vers le sud. Dans la tranchée E-2 le contact entre les roches volcanique et sédimentaires fut dégagé sur une dizaine de mètres. Les basaltes de couleur vert foncé avec des amygdules de chlorite et d'épidote sont en contact net avec un grès calcareux de couleur crème. Aucune minéralisation n'a été vue dans cette unité sédimentaire. Le décapage dans ce secteur ne peut donc être expliquée la présence l'anomalie de sol en cuivre.
Mentionnons que cette anomalie est situé sur l'ancienne frontière entre Les Mines Madeleine et la propriété de Consolidated Dearing Mining & Entreprises Ltd et a été interprétée à partir de deux levés. Une anomalie magnétique s`y superpose et serait expliquée d'après l'auteur R.A.Marleau (GM 29747) par la présence de roche métavolcanique qui recouvrent les sédiments calcaireux transformés en skarn ou en cornéenne et possiblement minéralisés en cuivre.

Afin de relocaliser ces anomalies et de couvrir leurs extensions, il est recommandé de faire un campagne de géochimie de sol et un levé magnétique et électromagnétique sur des lignes rubannées espacées de 100 m avec des stations à tous les 25 m. Ces lignes auraient une longueur de 150 m de chaque côté d'une ligne de base coupée qui longerait le contact entre les volcanites et les sédiments sur une distance de 600 m à partir de la limite ouest actuelle du parc de la Gaspésie. Suite aux résultats obtenues une campagne de forages serait nécessaire.

Le contact volcano-sédimentaire a été dégagé à environ 3 km plus à l'ouest. Dans ce secteur, la position de la tranchée H a été justifié afin de vérifier la puissance du banc de grès quartzitique et la concordance de son contact supérieur avec les basaltes. De plus, des blocs de grès quartzitique fortement minéralisés en galène et sphalérite furent découverts lors de notre levé de prospection dans un ruisseau à proximité. Suite au dégagement du contact entre les volcanites et les sédiments nous pouvons affirmer que le contact entre les deux unités est concordant. Cependant la minéralisation en chalcopyrite est confinée dans les fractures surtout dans la partie supérieur du banc. Les deux échantillons prélevés 47870 et 47871 ont retourné 0.2 %, 0.4 % Cu et 2.2 g/t, 2.0 g/t Ag respectivement. Notre décapage confirme ce qui a été décrit dans le forage no 5 (GM 21098) situé à environ 50 m à l'est de la tranchée H. Dans ce forage, le même banc de grès est recoupé sur 19 pieds et des traces de chalcopyrite sont notées dans les fractures. IL recoupe ensuite des argiles parfois calcareuse jusqu'à la fin soit 215 pieds.
Le contact inférieur du banc est marqué par une mylonite de 60 centimètres d'épaisseur. Sa direction et son pendage sont concordant avec la stratigraphie. À quelques endroits, des décrochements apparents dextre et senestre variant de quelques centimètres à près de 2 mètres. La minéralisation en sphalérite et galène disséminées occupe la partie inférieur du grès près de la faille. La limite ouest de la minéralisation n'a pas été dégagé cependant nous savons qu'elle n'excède pas 23 mètres car aucune minéralisation n'a été vue dans la tranchée H-1.

Rappelons que le banc de grès quartzitique est calcareux dans la tranchée E-2. Il est en contact sous-jacent avec les laves basaltiques qui représentent un écran imperméable pour les fluides hydrothermaux. Le sondage S-99 est le seul à avoir possiblement traversé cette unité dans la partie centrale de l'unité des Pics à cause d'un mouvement de blocs généré par la faille nord-sud qui recoupe l'unité des Pics. Dans ce forage plusieurs intersection minéralisées sont notés;

S-99 (21350N-9802E, 340^0, -50^0, 587′)
0′ - 153′ Argile brune
153′ - 205′ Argile noire
205′ - 223′ Argile noire, brèchique 5 à 8% de sulfures
197′-217′ 0.16% Cu, 0.18% Zn, 0.04 oz/t Ag/20′
223′ - 258′ Argile brune
258′ - 260′ Calcaire

260′ - 270′ Argile silteuse
270′ - 416′ Quartzite
305′-327′ 0.06% Cu / 22′
344′- 352′ 0.07% Cu / 8′
367′-385′ 0.08% Cu / 18′
405′-414′ 0.21% Cu / 9′
416′ - 453′ Volcanique amygdalaire
453′ - 458′ Quartzite calcaire
458′ - 467′ Argile silteuse, brèche
443′-462′ 0.25% Cu / 15′
467′ - 470′ Calcaire
470′ - 499′ Argile silteuse
499′ - 555′ Siltstone
499′-507′ 0.08% Cu / 8′
507′-527′ 0.10% Cu / 20′
555′ - 570′ Calcaire
561′-587′ 0.08% Cu, 0.12% Zn / 26′
570′ - 585′ Argile
585′ - 587′ Calcaire

Le grès quartzitique calcareux représente une cible de choix dans le secteur nord de la bande volcanique de l'unité des Pics. Dans un premier temps il faut compiler les informations disponibles sur les levés géochimique et géophysique couvrant cette bande sédimentaire d'ouest en est de la propriété. Deuxièmement, il faudrait prospecter avec minutie le contact entre les volcaniques et les sédiments. Afin de bien positionner ce contact, il est suggéré d'utiliser un magnétomètre. Il est aussi recommandé de recueillir des échantillons de sol pour vérifier les enrichissements en cuivre, plomb, zinc et argent dans la bande sédimentaire.

260′ - 270′ Argile silteuse
270′ - 416′ Quartzite
305′-327′ 0.06% Cu / 22′
344′- 352′ 0.07% Cu / 8′
367′-385′ 0.08% Cu / 18′
405′-414′ 0.21% Cu / 9′
416′ - 453′ Volcanique amygdalaire
453′ - 458′ Quartzite calcaire
458′ - 467′ Argile silteuse, brèche
443′-462′ 0.25% Cu / 15′
467′ - 470′ Calcaire
470′ - 499′ Argile silteuse
499′ - 555′ Siltstone
499′-507′ 0.08% Cu / 8′
507′-527′ 0.10% Cu / 20′
555′ - 570′ Calcaire
561′-587′ 0.08% Cu, 0.12% Zn / 26′
570′ - 585′ Argile
585′ - 587′ Calcaire

Le grès quartzitique calcareux représente une cible de choix dans le secteur nord de la bande volcanique de l'unité des Pics. Dans un premier temps il faut compiler les informations disponibles sur les levés géochimique et géophysique couvrant cette bande sédimentaire d'ouest en est de la propriété. Deuxièmement, il faudrait prospecter avec minutie le contact entre les volcaniques et les sédiments. Afin de bien positionner ce contact, il est suggéré d'utiliser un magnétomètre. Il est aussi recommandé de recueillir des échantillons de sol pour vérifier les enrichissements en cuivre, plomb, zinc et argent dans la bande sédimentaire.

BIBLIOGRAPHIE

Numéro	Description du document	Année
GM 53235	Rapport de forage, propriété Boisbuisson	1992
GM 53212	Rapport de la campagne de forage 1990	1991
GM 48351	7 journaux de sondage au diamant	1998
GM 43568	4 journaux de sondage des trous V-86-	1986
GM 42158	6 journaux de sondage au diamant	1985
GM 43612	1 journal de sondage du trou V-86-10	1985
GM 36977	Rapport des travaux d'exploration	1980
GM 37800	Rapport géologique et d'exploration	1981
GM 49810	Journaux de sondage surface	1980
GM 38383	Évaluation du potentiel minéral	1979
GM 32528	Mines Madeleine S-127 à S-131	1976
GM 18910	Wexford	1966
GM 38443	Soquem (Géomines)	1979
GM 16843	(GM regroupé 16910) Noranda Exploration Ltd	1965
GM 15548	Société d'exploration et d'exploitation minière	1964
GM 15534	Bérubé J.Y.	1964
GM 21098	Mt-St-Anne ltd	1967
GM 22121	Mervill	1967
GM 20385	Wexford	1966
GM 23349	Keevil	1968
GM 24620	Keevil	1969
GM 19057	Twin Mountain	1966
GM 21838	Credo Mining	1967
GM 32528	Mines Madeleine S-127 à S-131	1976
GM 18910	Wexford	1966
GM 38443	Soquem (Géomines)	1979
GM 16843	(GM regroupé 16910) Noranda Exploration Ltd	1965
GM 15548	Société d'exploration et d'exploitation minière	1964
GM 15534	Bérubé J.Y.	1964
GM 21946	Mines Madeleine	1968
GM 23142	Mines Madeleine	1968

GM 25737	Mines Madeleine	1968
GM 28387	Mines Madeleine S-95, S-98, S-99, S-100, S-101	1974
GM 23458	Credo Mining. Sondage 430-68-1 à 6	1968
GM 23142	Mines Madeleine Forage sous-terre U-45 à U-70, S-75	1968
GM 25737	Mines Madeleine Forage sous-terre U-71 à U-132	1968
GM 28387	Mines Madeleine Forage sous-terre U-457 à U-570, S-95 à S-114	1972
GM 31719	Mines Madeleine Forage sous-terre U-775 à U-906	1975
GM 32528	Mines Madeleine Forage sous-terre U-1121 à U-1123, S-127 à S-131	1976
GM 21946	Mines Madeleine	1968
GM 23142	Mines Madeleine	1968

ANNEXE 1

Tableau descriptif des tranchées réalisées en 2001

Projet Mines Madeleine Ouest

No. 2001-B3-901

Tranchées réalisées à partir des recommandations de la compilation de mai 2001
projet Mine Madeleine-Ouest no. 2001-B3-901
Fonds régional d'assistance à la prospection minière de la Gaspésie et des Îles-de-la-Madeleine

Tr. no	Localisation	Justification	Longueur planifiée	Longueur réalisé	Décapage réalisé
A	Grauwacke centre sud de la propriété	Anomalies géochimiques de sol en Cu, Zn, Ag, anomalies PP, extension de la zone minéralisée de 400 000 t à 0,32 % Cu vers le sud(?), structure porteuse	200 m	55 m	Dans le secteur le secteur de la tranchée A, le socle n'a pas été atteint à cause de l'épaisseur de débris rocheux. Plusieurs essaie infructueux ont été fait et les tranchées furent remblayées. Les anomalies ne sont pas expliqués. L'extension de la zone minéralisé vers le sud n'est pas confirmée dans ce secteur.
B	Grauwacke centre sud de la propriété	Anomalies géochimiques de sol en cuivre, anomalies PP, indice minéralisé en cuivre	400 m	172 m	Afin de respecter la réglementation sur les travaux de décapage a proximité d'un cours d'eau, la tranchée fut déplacée vers le sud.Les anomalies de géochimie de sol et de polarisation provoquée localisé directement dans le ruisseau demeurent inexpliqués.
C	Grauwacke partie ouest	Anomalies géochimiques de sol en Zn et Cu, Indice de Cu, contexte géologique favorable.	400 m	186 m	La tranchée C a recoupé presque à angle droit quatre zones minéralisées; La minéralisation est composée de malachite, magnétite et chalcocine dissiminée dans un grauwacke ou un siltstone de couleur gris parfois verdâtre, représentant les niveaux réducteurs. De part et d'autres de ces zones minéralisées, les unités de grauwacke et de mudstones sont exempt de minéralisation cuprifère mais riche en magnétite et sont de couleur rouge ou de dominance rouge et réprésentent le niveaux oxydant. Un échantillonnage par éclats pratiqué sur chacune des zones montrent des concentrations de : **Zone A 0.65 % Cu / 9 m** **Zone B 0.70 % Cu / 1 m** **Zone C 0.60 % Cu / 7 m** **Zone D 0.23 % Cu / 3 m.** La correspondance des zones minéralisées et l'anomalie de géochimie de sol en cuivre semble

Tranchées réalisées à partir des recommandations de la compilation de mai 2001
projet Mine Madeleine-Ouest no. 2001-B3-901
Fonds régional d'assistance à la prospection minière de la Gaspésie et des Îles-de-la-Madeleine

Tr. no	Localisation	Justification	Longueur planifiée	Longueur réalisé	Décapage réalisé
					bonne.
D	Grauwacke secteur ouest	Anomalies géochimiques de sol en Zn, anomalie PP, indice de cuivre dans les forages.	400 m		L'épaisseur des débris rocheux dans ce secteur, a conduit à l'abandon de cette tranchée. La prospection n'a pas permis d'expliquer l'extension vers le sud-ouest de l'anomalie de géochimie de sol en cuivre dégagée dans la tranchée C
E	Secteur nord secteur est	Anomalies géochimiques de sol en Cu, anomalie magnétique, indice de cuivre dans les forages, cible géologique.	400 m	188 m	Dans ce secteur deux tranchées à l'aide d'un bouteur sur chenilles ont été exécutées.La tranchée E recoupe essentiellement des unités sédimentaire fortement silicifié et aucune minéralisation significative n'a été vu. Dans la tranchée E-2, le contact volcano-sédimentaire a été dégagé. La minéralisation rencontrée dans les tranchées ne peut justifier l'immense anomalie de sol en cuivre dans ce secteur
F	Secteur centre sud	Indice minéralisé Cu, anomalies géochimiques de sol en Zn	300 m	116 m	Cette tranchée a été remplacée en partie par la tranchée E-2
G	Secteur nord partie centre	Anomalies géochimiques de sol en Zn, Cu, anomalies PP, indice Zn dans les forages, géologie favorable.	500 m		Situé dans un secteur fortement boisé et difficile d'accès la position de la tranchée a été déplacée dans le secteur de l'indice no. 15. Cependant, le secteur a fait l'objet d'une prospection minutieuse. Le contact entre les basaltes et les sédiments est déduit par la présence d'un banc de grès quartzitique faiblement minéralisé en chalcopyrite, malachite dans les fractures semblable à celui cartographié dans la tranchée H-2 réf. éch. RB 1034

Tranchées réalisées à partir des recommandations de la compilation de mai 2001
projet Mine Madeleine-Ouest no. 2001-B3-901
Fonds régional d'assistance à la prospection minière de la Gaspésie et des Îles-de-la-Madeleine

Tr. no	Localisation	Justification	Longueur planifiée	Longueur réalisé	Décapage réalisé
G-1	Secteur nord Partie ouest	Anomalie géochimique de sol en Zn, Cu, anomalies PP, PS, intersection de zinc de 0.83 % / 15 m, contexte géologique favorable.	600 m	148 m	La tranchée G-1 a permis de mesurer la puissance du banc de calcaire dolomitique qui fait 10 m dans le secteur de l'indice no. 15. Des échantillons choisis de calcaire dolomitique recoupé par des réseaux de veines et minéralisé dans les fractures ont retourné des valeurs de 2.98 % Pb et 5,87 % Zn. La minéralisation semble se concentrer dans le calcaire surtout près du contact supérieur et correspondrait à l'anomalie de sol en zinc qui s'étire dans la même direction que la lithologie.
G-2	Secteur nord Partie ouest	Anomalie géochimique de sol en Zn, Cu, anomalies PP, PS, intersection de zinc de 0.83 % / 15 m, contexte géologique favorable.	400 m	116 m	Un intrusif basique orienté à 300^0 suit la tranchée sur environ 30 m Les séquences sédimentaire adjacentes sont très argileuse avec quelques interlits de calcaire et le litage est très turbulent. Aucune minéralisation n'a été vu lors de la cartographie géologique.
H	Secteur nord partie ouest	Anomalies géochimique de sol en Zn, Cu, indice minéralisé en Cu, Pb dans les forages et en surface, contexte structural favorable.	500 m		Situé dans un secteur fortement boisé et difficile d'accès la position de la tranchée a été déplacée dans le secteur situé au sud de l'indice no. 17. Cependant, le secteur a fait l'objet d'une prospection minutieuse. Le contact entre les basaltes et les sédiments est déduit par la présence d'un banc de grès quartzitique faiblement minéralisé en chalcopyrite, malachite dans les fractures semblable à celui cartographié dans la tranchée H-2 réf. éch. RB 1034
H-1 H-2	Secteur nord partie ouest	Anomalie magnétique, contexte géologique favorable.Une prospection préalable a permis de localiser la minéralisation en malachite, chalcopyrite décrit dans la fiche de gîte 22 G/1 -17 et de préciser le contact entre les basaltes et les sédiments. Le décapage à partir de ce contact permettra de mieux	400 m	31 m	La tranchée H-1 fait environ 4 m de long et la tranchée H-2 fait 27 m. Les deux tranchées sont séparé par 23 m de mort terrain. La tranchée H-1 montre clairement que le contact entre les basaltes et le grès quartzitique est concordant. La puissance du banc est de 8 m.. Les fractures dans le grès sont faiblement minéralisées en

Tranchées réalisées à partir des recommandations de la compilation de mai 2001
projet Mine Madeleine-Ouest no. 2001-B3-901
Fonds régional d'assistance à la prospection minière de la Gaspésie et des Îles-de-la-Madeleine

Tr. no	Localisation	Justification	Longueur planifiée	Longueur réalisé	Décapage réalisé
		évaluer la quantité de minéralisation et la puissance du banc. Un bloc de grès fortement minéralisé en galène et sphalérite dissiminées a été découvert dans le ruisseau immédiatement au nord de l'indice no.17.			malachite et chalcopyrite surtout près du contact avec les roches volcanique. Un échantillon choisie a retourné 774 ppm Cu, 200 ppm Pb, 347 ppm Zn. La tranchée H-2 a dégagé le banc de grès un peu plus à l'est. La puissance de l'horizon est constante. Près du contact supérieur la minéralisation est semblable à ce que nous voyons dans la tranchée H-1. Dans la partie inférieur du banc de grès quartzitique, une minéralisation en sulfures dissiminée constituée de galène et sphalérite a été dégagée. La zone minéralisée fait 2,5 m de large à la limite ouest de la tranchée H-2 s'étend sur 18 m en diminuant progressivement vers l'est.. Un échantillonnage par éclats a révélé des concentrations de; **3,5 % Pb- 0,1 % Zn / 2,5 m et 3,9 % Pb-5,4 % Zn / 3 m .** Les échantillons choisies recueillit dans la partie est de la tranchée ont montrés des teneurs élévées; ex. 47882 **2,9 % Pb-20,9 % Zn** Dans la partie la plus au sud, la minéralisation se bute sur une structure cassante, représentée par une mylonite de faille d'environ 40 cm d'épaiseur**, dont la direction est légèrement discordante par rapport au sédiments sous-jacents.**
I	Secteur nord partie ouest	Anomalies géochimiques de sol en Cu, Zn, anomalie PP, contexte structural favorable.	400 m		Situé dans un secteur fortement boisé et difficile d'accès la position de la tranchée a été déplacée dans le secteur situé au sud de l'indice no. 18. Cependant, le secteur a fait l'objet d'une prospection minutieuse. Le contact entre les basaltes et les sédiments est déduit par la présence d'un banc de grès quartzitique faiblement minéralisé en chalcopyrite, malachite dans les fractures semblable à celui cartographié dans la

Tranchées réalisées à partir des recommandations de la compilation de mai 2001
projet Mine Madeleine-Ouest no. 2001-B3-901
Fonds régional d'assistance à la prospection minière de la Gaspésie et des Îles-de-la-Madeleine

Tr. no	Localisation	Justification	Longueur planifiée	Longueur réalisé	Décapage réalisé
					tranchée H-2 réf. éch. RB 1034
I-1 I-2 I-3 I-4	Secteur nord partie ouest	Anomalie de sol en Zn, Cu,anomalie PP, géologie favorable.	700 m	316 m	Suite aux informations recueillit durant notre campagne de prospection, nous avons tenté de vérifier l e contact volcano-sédimentaire dans le secteur. La tranchée I-1 orientée à 115^0 fait 168 m de long à partir de l'indice minéralisée no 18. Malheureusement elle n'a pas atteint les basaltes. La tranchée I-2 a dégagée l'indice no.18 qui est constitué de petits filons de malachite et chalcopyrite dans un calcaire dolomitisé parfois fortement. Le banc de calcaire est évalué à environ 4 m d'épaisseur. À partir de l'indice, une tranchée a été ouverte en direction est sur 68 m. La tranchée suit la direction du litage et est abandonnée. La tranchée I-3 est localisé près du centre de l'anomalie de sol en Zn, Cu et de l'anomalie PP. L'épaisseur du champ de blocs de basalte est impressionnant et occasionne des éboulements. le socle rocheux n'est pas atteint et le décapage est interrompu après 12 m . La tranchée I-4 a dégagée un intrusif basique sur environ 44 m, la direction est presque parallèle à l'ouverture. Au contact est du dyke, les sédiments calcareux et argileux sont très fracturés mais exempt de minéralisation. Le décapage est arrêté 24 m plus loin.
		Un total de 11 tranchées ont été exécutées	**3500 m**	**1328 m**	**La largeur des tranchée varie entre 2 et 3 mètres et l'épaisseur du mort terrain varie de 1 à 4 mètres.**

ANNEXE 2

Tableau des points de contrôle et description

Projet Mines Madeleine Ouest

No. 2001-B3-901

Tableau POINTS DE CONTRÔLE ET DESCRIPTION

Projet : Mines Madeleine Ouest no. 2001-B3-901

Arrêt	Localisation UTM NAD 27		Description
	Longitude mètre	Latitude mètre	
1	0717394	5431135	Piquet de claims 5215722 P-1, 5215719 P-2, 5215720 P-3, 5215721 P-4
2	0716482	5431146	Ancien dépotoir de Mines Madeleine
3	0715494	5432567	Aff. Basalte vert foncé
4	0714267	5431589	Piquet de claim, 5215668 P-4
5	0714318	5430729	Piquet de claims, 5215670 P-4, 5215669 P-3
6	0717496	5431296	Blocs abondants de cornéenne
7	0716195	5433304	Ligne de claim nord-sud
8	0715376	5432658	Ancien site de forage
9	0715323	5432754	Blocs d'intrusif felsique, grains grossiers, pyrite, pyrrhotine
10	0715346	5432658	Ligne de claim est-ouest
11	0714482	5431923	Aff. Mudstone gris foncé, non calcareux avec des lentilles silteuses vert pâle.
12	0714482	5431923	Aff. Un interlit de quartzite de 10 cm d'épaisseur, non calcareux, rouge
13	0714487	5431933	Blocs de brèche minéralisée, trace de galène
14	0714648	5432133	Ancien site du forage DDH 1
15	0714678	5432133	Ancien site du forage DDH 2. Aff. Schiste graphiteux, noir, rouillé
16	0714658	5432054	Ligne de claim nord-sud, limite ouest de la propriété en août 2001
17	0714635	5431900	Ancien site du forage no.2, GM 21098 blocs de diabase
18	0714646	5431962	Piquet de claims, 5215687 P-3, 5215686 P-4
19	0714865	5432152	Ancien site du forage no.1, GM 21098
20	0714606	5432019	Aff. Schiste ardosier, banc de 0.5 cm, direction 24^0 et pendage de 22^0

Tableau POINTS DE CONTRÔLE ET DESCRIPTION

Projet : Mines Madeleine Ouest no. 2001-B3-901

Arrêt	Localisation UTM NAD 27		Description
	Longitude mètre	Latitude mètre	
21	0718650	5433450	Blocs de basalte, dureté moyenne, poudre verte, non magnétique, pyrite et malachite dans les fractures
22	0718555	5433593	Aff. Basalte, vert foncé, magnétique par endroit, trace de bornite dans les fractures
23	0718491	5433628	Ligne de claim nord-sud
24	0718507	5433660	Ligne coupée dégagée sur 2 m AZ. 80^0 (limite nord du levé de Mines Madeleine) Blocs anguleux vert foncé, magnétique
25	0717558	5434054	Ligne de claim est-ouest
26	0717735	5434405	Ligne de claim nord-sud
27	0718471	5434362	Ligne de claim nord-sud
28	0718630	5433967	Ligne de claim est-ouest
29	0719066	5432382	Site de la galerie à flanc de coteau 3440
30	0718520	5431780	Site de la galerie à flanc de coteau 2700
31	0716403	5433763	Aff. Mudstone gris foncé, non calcareux
32	0716350	5433742	Aff. Superposition de calcaire dolomitique, gris moyen , litage ondulent, d'un schiste graphiteux avec des interlits plus grossiers, gris foncé et d'un banc de calcaire dolomitique
33	0717207	5433094	Ancien site du forage S-99
34	0717029	5433647	Ligne de claim ess-ouest
35	0717171	5433193	Subaff. (Gros blocs anguleux 1 m^3) de grès quartzitique
36	50 m au nord de 35		Aff. Calcaire silteux, gris très foncé, pyrite dissiminée et le long des fractures

Tableau POINTS DE CONTRÔLE ET DESCRIPTION

Projet : Mines Madeleine Ouest no. 2001-B3-901

Arrêt	Localisation UTM NAD 27		Description
	Longitude mètre	Latitude mètre	
37	100 m au nord de 35		Blocs de mudstone lité, silicifié, pyrite fine dissiminée
38	0717197	5433217	Aff. Mudstone silicifié, lits plissés, veine de QZ, PY. Forme une chute de 3 mètres
39	0717193	5433387	Aff. Calcaire lité
40	0714306	5430310	Piquet de claim 5215670 P-3
41	0717100	5430950	Aff. Mudstone lité, non calcareux en contact du côté est avec un intrusif gris moyen, phénocristaux de quartz, carbonatisé, pyrite diss.
42	0717090	5430950	Aff. Mudsone lité, silicifié, non calcareux
43	0716890	5430932	Aff. Mudstone lité, silicifié, non calcareux, litage contorsionné sub. vertical
44	0716804	5430928	Aff. Mudstone gris moyen, cisaillé, non calcareux
45	0716596	5430930	Aff. Mudstone calcareux gris, lit ondulés, veines de calcite recoupent à angle droit
46	0716503	5430957	Aff. Mudstone gris, très cisaillé, non calcareux
47	07164456	5430980	Aff. Mudstone calcareux, interlits silteux
48	0716387	5431044	Aff. Mudstone calcareux, interlits silteux
49	0716550	5431187	Aff. Mudstone dolomitique rubanné
50	0717099	5431598	Aff. Grauwacke
51	0716126	5433510	Ligne de claim nord-sud
52	0716727	5433433	Ancien site du forage no 1, tubage direction N 330^0 - 56^0
53	0716733	5433479	Vieux camp effondré
54	0716460	5432109	Blocs de basalte

Tableau POINTS DE CONTRÔLE ET DESCRIPTION

Projet : Mines Madeleine Ouest no. 2001-B3-901

Arrêt	Localisation UTM NAD 27		Description
	Longitude mètre	Latitude mètre	
55	0716391	5432078	Aff. Basalte rouge et vert, non magnétique, hématite
56	0716319	5432018	Aff. Basalte, vert moyen, magnétique
57	0716252	5431815	Blocs de grauwacke
58	0716252	5431765	Aff. Grauwacke, gris rougeâtre, fortement magnétique
59	0716200	5431627	Blocs anguleux de quartzite, gris verdâtre, rouille dans les fractures
60	0716201	5431485	Ligne de claim est-ouest
61	0714820	5431252	Boites de carottes du forage 430-68-1 non récupérable
62	0714624	5431187	Piquet de claims 5215673 P-3, 5215672 P-4, 5215669 P1, 5215668 P-2
63	0714735	5431191	Boites de carottes du forage 430-68-3
64	0714674	5431438	Aff. Basalte vert foncé, non magnétique, amygdules de QZ, CC
65	0714692	5431416	Aff ou subaff. Basalte vert foncé, non magnétique
66	0714728	5431397	Aff. Siltstone gris
67	0714749	5431399	Aff. Basalte gris vert, amygdules de CC, épidote
68	0714905	5431282	Site probable du forage 430-68-4 (Tube de forage sur place, pas de carottes

ANNEXE 3

Tableau de description des échantillons

Projet Mines Madeleine Ouest

No. 2001-B3-901

Tableau Description des échantillons

Projet : Mines Madeleine Ouest no. 2001-B3-901

No. Échan.	Localisation UTM NAD 27		Description	Minéralisation visible	Analyse	Remarque
RB 1009	0714516 mE	5431918 mN	Aff. Calcaire dolomitique.	Galène dans les fractures	Non	
RB 1010	0713961 mE	5430853 mN	Aff. Mudstone calcareux.		Non	Pour contenu en CaCo3
RB 1011-A (47804)	0717388 mE	5431359 mN	Blocs anguleux, silstone.	Pyrite diss.	Non	
RB 1011-B (47805)	0714456 mE	5431172 mN	Blocs anguleux, Intrusif basique	Malachite dans les fractures	Non	
RB 1012	0715598 mE	5433016 mN	Aff. Calcaire silteux, gris foncé.	Malachite dans les fractures	Non	Plan de glissement non HCL, Site de l'indice # 18
RB 1013	0715376 mE	5432658 mN	Blocs anguleux, calcaire dolomitique, faible Hcl, vert pâle, dureté moyenne.		Non	
RB 1014	0715323 mE	5432754 mN	Blocs anguleux, felsite, vert pâle, hématite.		Non	
RB 1015	0715323 mE	5432744 mN	Blocs anguleux, grès quartzitique, gris pâle	Sphalérite, galène	Non	Semblable à la minéralisation découvert dans la tranchée H-2
RB 1016	0715442 mE	5432535 mN	Aff. Grès quartzitique, gris pâle	Malachite, chalcopyrite	Non	
RB 1018	0714575 mE	5431937 mN	Aff. Calcaire argileux, gris moyen.		Non	Pour contenu en CaCo3

Tableau Description des échantillons

Projet : Mines Madeleine Ouest no. 2001-B3-901

No. Échan.	Localisation UTM NAD 27		Description	Minéralisation visible	Analyse	Remarque
RB 1019	0714564 mE	5432000 mN	Aff. Calcaire dolomitique, patine orangée	V.Quartz, Pyrite diss. Carbonate de fer en surface.	Non	
RB 1020	0714512 mE	5431938 mN	Aff. Calcaire dolomitique, patine orangée.	Galène	Non	Site de l'indice # 15
RB 1021	0718587 mE	5433556 mN	Aff. Basalte, vert, poudre verte, non magnétique, dureté moyenne	Quartz, calcite, malachite, chalcopyrite dans les fractures.	Non	Anomalie de sol en Cu secteur tranchée E
RB 1022	0718625 mE	5433658 mN	Aff. Basalte, vert, non magnétique	Pyrite fine diss. Trace de bornite dans les fractures	Non	Anomalie de sol en Cu secteur tranchée E
RB 1023	0718753 mE	5433732 mN	Blocs anguleux de cornéenne d'aspect convoluté, altération hydrothermale plus intense le long des fractures.		Non	Anomalie de sol en Cu secteur tranchée E
RB 1024	0415598 mE	5433016 mN	Aff. Calcaire silteux, gris foncé.	Chalcopyrite, bornite dans les fractures	Non	Site de l'indice # 18
RB 1025	0718570 mE	5434030 mN	Aff. Intrusif basique	Pyrite	Non	

Tableau Description des échantillons

Projet : Mines Madeleine Ouest no. 2001-B3-901

No. Échan.	Localisation UTM NAD 27		Description	Minéralisation visible	Analyse	Remarque
RB 1026	0716518 mE	5432061 mN	Aff. Grauwacke et conglomérat d'origine volcanique, rouge, non magnétique	Trace de malachite dans les fractures	Non	Site de l,indice # 24
RB 1027	0716434 mE	5432040 mN	Aff. Grauwacke à grains plus fins, rouge, interlits magnétiques et non magnétiques.	Malachite dans les fractures.	Non	Site de l,indice # 24
RB 1028	0716420 mE	5432020 mN	Aff. Grauwacke rouge	Malachite dans les fractures	Non	Site de l'indice # 24
RB 1029	0716430 mE	5432020 mN	Aff. Grès, gris à reflet bleuté		Non	Site de l'indice # 24
RB 1030	0716494 mE	5431987 mN	Sub aff. Grès, gris à reflet bleuté		Non	Site de l'indice # 24
RB 1031	0716853 mE	5432090 mN	Aff. Conglomérat non magnétique avec des interlits silteux rouge magnétique	Malachite dans les fractures	Non	Site de l'indice # 24
RB 1032	0717114 mE	5433239 mN	Abondance de blocs anguleux de mudstone silicifiié.	Rouille dans les fractures	Non	Près du site de l'indice # 23
RB 1033	0717147 mE	5433223 mN	Mélange de blocs de mudstone silicifié et de grès quartzitique	Chalcopyrite dans les fractures du grès	Non	Près du site de l'indice # 23

Tableau Description des échantillons

Projet : Mines Madeleine Ouest no. 2001-B3-901

No. Échan.	Localisation UTM NAD 27		Description	Minéralisation visible	Analyse	Remarque
RB 1034	0717190 mE	5433103 mN	Blocs abondant de grès quartzitique silicifié	Malachite, chalcopyrite dans les fractures	Non	Près du site de l'indice # 23
RB 1035	0717204 mE	5433203 mN	Aff. Mudstone silicifié, gris foncé	Lentilles de pyrite, pyrrhotine, chalcopyrite	Non	Site de l'indice # 23
RB 1036	0717090 mE	5430950 mN	Aff. Mudstone silicifié, très fracturé	Pyrite, chalcopyrite, rouille dans les fractures	Non	Secteur de la tranchée F
RB 1037	0716932 mE	5430922 mN	Aff. Mudstone lité, non HCL, en contact avec un intrusif intermédiaire avec des phénocristaux de quartz	Pyrite	Non	Secteur de la tranchée F
RB 1038	0716820 mE	5430926 mN	Aff. Mudstone, non HCL, en contact avec un intrusif basique	Pyrite	Non	
RB 1039	0716820 mE	5430926 mN	Aff. Intrusif basique, foncé, carbonatisé	Pyrite au contact	Non	
RB 1040	0716810 mE	5430926 mN	Blocs anguleux de siltstone et conglomérat	Pyrite abondante	Non	

Tableau Description des échantillons

Projet : Mines Madeleine Ouest no. 2001-B3-901

No. Échan.	Localisation UTM NAD 27		Description	Minéralisation visible	Analyse	Remarque
RB 1041	0716061 mE	5433148 mN	Blocs de basalte, épidotisé	Malachite, azurite, cuivre natif dans les fractures	Non	Près du site de l'indice # 18
RB 1042	0716061 mE	5433138 mN	Blocs de basalte, magnétique	Malachite dans les fractures	Non	Près du site de l'indice # 18
RB 1043	0716271 mE	5432062 mN	Aff. Mudstone calcareux, vert pomme		Non	Près du site de l'indice # 24
RB 1044	0716241 mE	5431948 mN	Aff. Mudstone, rouge		Non	Près du site de l'indice # 24
RB 1045	0716263 mE	5431930 mN	Aff. Mudstone calcareux, gris argenté, fortement magnétique.		Non	Près du site de l'indice # 24
RB 1046	0716252 mE	5431865 mN	Blocs anguleux de mudstone, fortement magnétique	Malachite, chalcopyrite dans les fractures	Non	Près du site de l'indice # 24
RB 1048	0718430 mE	5433665 mN	Aff. Grès quartzitique calcareux gris pâle		Non	Sur le contact volcano-sédimentaire tranchée E-2
RB 1049	0718430 mE	5433665 mN	Aff. Basalte, vert	Rouille dans les fractures	Non	Sur le contact volcano-sédimentaire tranchée E-2
RB 1050	0718396 mE	5433653 mN	Aff. Mudstone silicifié	Pyrrhotine, trace de chalcopyrite dans les fractures	Non	Limite ouest de la tranchée E-2

Tableau Description des échantillons

Projet : Mines Madeleine Ouest no. 2001-B3-901

No. Échan.	Localisation UTM NAD 27		Description	Minéralisation visible	Analyse	Remarque
RB 1051 (47866)	0714516 mE	5431931 mN	Aff. Réseau de veine de quartz et calcite dans un calcaire dolomitique à patine orangé	Pyrite, trace de chalcopyrite, trace de sphalérite	Oui	Limite ouest de la tranchée G-1
RB 1052 (47867)	0714516 mE	5431931 mN	Aff. Calcaire dolomitique plus ou moins conglomératique	Galène, sphalérite, pyrite, chalcopyrite	Oui	Limite ouest de la tranchée G-1
RB 1053 (47868)	0714518 mE	5431941 mN	Aff. Calcaire dolomitique	Trace de galène dans les fractures	Oui	Limite ouest de la tranchée G-1
RB 1054	0714536 mE	5431981 mN	Aff. Intrusif intermédiaire, phénocristaux de feldspath vert pâle, porphyre de quartz dans une pâte gris pâle tendre		Non	Tranchée G-1
RB 1055	0714548 mE	5431991 mN	Aff. Intrusif intermédiaire, phénocristaux de feldspath, porphyre de quartz dans une pâte gris rosée	Pyrite dissiminée et entourant les grains de quartz	Non	Tranchée G-1

Tableau Description des échantillons

Projet : Mines Madeleine Ouest no. 2001-B3-901

No. Échan.	Localisation UTM NAD 27		Description	Minéralisation visible	Analyse	Remarque
RB 1056	0714552 mE	5431991 mN	Aff. Veine de quartz et calcite de 8 cm dans un calcaire dolomitique	Galène	Non	Tranchée G-1
RB 1057	0714770 mE	5432095 mN	Aff. Intrusif basique, foncé, veines de chalcite	Pyrite dissiminée	Non	Tranchée G-2
RB 1058 (47869)	0715389 mE	5432500 mN	Aff. Grès quartzitique, crème légèrement rosé	Malachite, chalcopyrite dans les fractures	Oui	Tranchée H-1
RB 1059 (47870)	0715419 mE	5432510 mN	Aff. Grès quartzitique, crème légèrement rosé	Malachite, chalcopyrite dans les fractures et largement dispersée	Oui	Tranchée H-2
RB 1060 (47871)	0715419 mE	5432510 mN	Aff. Grès quartzitique, crème légèrement rosé	Malachite, chalcopyrite dans les fractures et largement dispersée	Oui	Tranchée H-2
RB 1061 à RB 1074 (47819 à 47806)	0715415 mE	5432515 mN	Aff. Grès quartzitique, crème, fortement minéralisé en sulfures	Galène et sphalérite dissiminées, sulfures massifs	Oui	Échantillonnage par éclats de la zone minéralisée de la tranchée H-2

Tableau Description des échantillons

Projet : Mines Madeleine Ouest no. 2001-B3-901

No. Échan.	Localisation UTM NAD 27		Description	Minéralisation visible	Analyse	Remarque
RB 1075 (47872)	0717123 mE	5431658 mN	Aff. Micro-conglomérat, parfois calcareux, degrée de magnétisme variable	Pyrite finement dissiminée	Oui	Limite nord-est de la tranchée B
RB 1076	0717289 mE	5431291 mN	Champ de blocs superposé à RB 1077. Micro-conglomérat, brun très foncé à noir, fragments vitreux, très dure, de couleur brun foncé à blanc vert dans une pâte à grains très fins, dureté moyenne, de couleur noir rougeâtre		Non	Limite nord de la tranchée A
RB 1077	0717289 mE	5431280 mN	Blocs de mudstone noir très fracturé	Rouille dans les fractures	Non	La tranchée A n'a pas atteint le socle rocheux et a été remblayée
RB 1078 (47873)	0714644 mE	5431380 mN	Aff. Grès, non calcareux, gris moyen, moyennement à fortement magnétique		Oui	Tranchée C. Vérification du contenu en chalcocine en relation avec la magnétite

Tableau Description des échantillons

Projet : Mines Madeleine Ouest no. 2001-B3-901

No. Échan.	Localisation UTM NAD 27		Description	Minéralisation visible	Analyse	Remarque
RB 1079 (47874)	0714664 mE	5431378 mN	Aff. Grès, non calcareux, gris moyen, moyennement à fortement magnétique, plan de glissements intraformationnels, stries horizontaux	Trace de malachite sur plans de glissements	Oui	Tranchée C. Vérification du contenu en chalcocine.
RB 1080 (47875)	0714674 mE	5431375 mN	Aff. De 30 cm d'épaisseur de silstone, gris moyen, magnétique	Magnétite et chalcocine en nodules de 1cm X 0.5 cm et finement dissiminés	Oui	Tranchée C. Vérification du contenu en cuivre. **L'échantillon a retourné une teneur de 3.28 % Cu**
RB 1081	0714694 mE	5431360 mN	Aff. Échantillon représentatif de la zone minéralisée. (Zone A) Grauwacke, gris foncé, non calcareux, magnétique,	Malachite dans les fractures.	Non	La zone A de la tranchée C a fait l'objet d'un échantillonnage par éclats. **Des valeurs ponctuelles de 1.8 % Cu ont été obtenues et la teneur moyenne en cuivre est de 0.6 % Cu / 7m**

Tableau Description des échantillons

Projet : Mines Madeleine Ouest no. 2001-B3-901

No. Échan.	Localisation UTM NAD 27		Description	Minéralisation visible	Analyse	Remarque
RB 1082	0714704 mE	5431340 mN	Aff. Échantillon représentatif de la zone minéralisée. (Zone C) Mudstone, gris moyen, interlits minces d'environ 2 mm d'un mélange de magnétite et de chalcocine.	Malachite dans les fractures, magnétite, chalcocine en lits minces.	Non	La zone C de la tranchée C a fait l'objet d'un échantillonnage par éclats. **Des valeurs ponctuelles de 2.9 % Cu ont été obtenues et la teneur moyenne en cuivre est de 0.65 % Cu / 9m**
RB 1083 (47876)	0714724 mE	5431325 mN	Aff. Argile schisteuse, gris foncée à noire, non calcareuse, magnétique	Malachite dans les fractures	Oui	Tranchée C. L'analyse montre un contenu en cuivre de 992 ppm
RB 1084 (47877)	0714744 mE	5431310 mN	Aff. Grauwacke, gris foncé, avec des interlits de conglomérat monolithique, fragments de chert, matrice tendre, magnétique.	Malachite dans les fractures	Oui	Tranchée C. L'analyse montre un contenu en cuivre de 2877 ppm.
RB 1085	0714754 mE	5431300 mN	Aff. Échantillon représentatif de la zone minéralisée. (Zone D) Argilite verte légèrement bleutée	Malachite dans les fractures	Non	

Tableau Description des échantillons

Projet : Mines Madeleine Ouest no. 2001-B3-901

No. Échan.	Localisation UTM NAD 27		Description	Minéralisation visible	Analyse	Remarque
RB 1086 (47878)	0715423 mE	5432517 mN	Aff. Grès quartzitique, crème, fortement minéralisé en sulfures	Galène et sphalérite dissiminées, sulfures massifs	Oui	Échantillon choisi de la zone minéralisée de la tranchée H-2. **L'analyse retourne des valeurs de 1.8 % Pb et 5.3 % Zn.**
RB 1087 (47879)	0715423 mE	5432517 mN	Aff. Grès quartzitique, crème, fortement minéralisé en sulfures	Galène et sphalérite dissiminées, sulfures massifs	Oui	Échantillon choisi de la zone minéralisée de la tranchée H-2. **L'analyse retourne des valeurs de 3.1 % Pb et 4.0 % Zn.**
RB 1088 (47880)	0715423 mE	5432517 mN	Aff. Grès quartzitique, crème, fortement minéralisé en sulfures	Galène et sphalérite dissiminées, sulfures massifs	Oui	Échantillon choisi de la zone minéralisée de la tranchée H-2. **L'analyse retourne des valeurs de 2.9 % Pb et 20.9 % Zn.**
RB 1089	0715423 mE	5432517 mN	Aff. . Échantillon représentatif de la zone minéralisée.Grès quartzitique, crème, fortement minéralisé en sulfures	Galène et sphalérite dissiminées, sulfures massifs	Non	

Tableau Description des échantillons

Projet : Mines Madeleine Ouest no. 2001-B3-901

No. Échan.	Localisation UTM NAD 27		Description	Minéralisation visible	Analyse	Remarque
RB 1090 (47881)	0715428 mE	5432518 mN	Aff. Grès quartzitique, crème, fortement minéralisé en sulfures	Galène et sphalérite dissiminées, sulfures massifs	Oui	Échantillon choisi de la zone minéralisée de la tranchée H-2. **L'analyse retourne des valeurs de 2.6 % Pb et 0.9 % Zn.**
RB 1091 (47882)	0715428 mE	5432518 mN	Aff. Grès quartzitique, crème, fortement minéralisé en sulfures	Galène et sphalérite dissiminées, sulfures massifs	Oui	Échantillon choisi de la zone minéralisée de la tranchée H-2. **L'analyse retourne des valeurs de 258 ppm de Pb et 1401 ppm de Zn.**
RB 1092 (47883)	0715430 mE	5432519 mN	Aff. Grès quartzitique, crème, fortement minéralisé en sulfures	Galène et sphalérite dissiminées, sulfures massifs	Oui	Échantillon choisi de la zone minéralisée de la tranchée H-2. **L'analyse retourne des valeurs de 0.8 % Pb et 2.2 % Zn.**
RB 1093	0718694 mE	5433830 mN	Subaff. Cornéenne, fortement silicifié, de couleur grise	Pyrrhotine dissiminée	Non	Tranchée E
RB 1094	0718694 mE	5433830 mN	Aff. Cornéenne, fortement silicifié, gris moyen	Pyrite, pyrrhotine dissiminées et le long des fractures avec des traces d'épidote	Non	Tranchée E

Tableau Description des échantillons

Projet : Mines Madeleine Ouest no. 2001-B3-901

No. Échan.	Localisation UTM NAD 27		Description	Minéralisation visible	Analyse	Remarque
RB 1095 (47884)	0718694 mE	5433827mN	Aff. Mudstone noir silicifié, non HCL, non magnétique. Quelques veines de CC	Pyrite, pyrrhotine (1%) dissiminés et le long des fractures.	Oui	Tranchée E
RB 1096 (47887)	0718702 mE	5433802 mN	Aff. Mudstone noir silicifié, non HCL, non magnétique. Quelques veines de CC	Pyrite, pyrrhotine dissiminés et le long des fractures.	Oui	Tranchée E
RB 1097 (47885)	0718710 mE	5433786 mN	Aff. Mudstone noir silicifié, non HCL, non magnétique. Quelques veines de CC	Pyrite, pyrrhotine dissiminés et le long des fractures.	Oui	Tranchée E
RB 1098 (47886)	0718710 mE	5433786 mN	Aff. Veine d'épidote dans un mudstone noir silicifié, non HCL, non magnétique.	Pyrite, pyrrhotine, trace de chalcopyrite.	Oui	Tranchée E
RB 1099	0718718 mE	5433758 mN	Aff. Intrusif basique foncé, silicifié.	Trace de pyrite, pyrrhotine, chalcopyrite le longs des fractures	Non	Tranchée E
RB 1100	0718730 mE	5433722 mN	Aff. Mudstone noir silicifié, non HCL, non magnétique. Quelques veines de CC	Épidote, pyrite, pyrrhotine	Non	Tranchée E

Tableau Description des échantillons

Projet : Mines Madeleine Ouest no. 2001-B3-901

No. Échan.	Localisation UTM NAD 27		Description	Minéralisation visible	Analyse	Remarque
RB 1101	0718746 mE	5433676 mN	Subaff. Mudstone noir silicifié, non HCL, non magnétique. Quelques veines de CC	Veine d'épidote, pyrite, pyrrhotine	Non	Tranchée E
RB 1102 (47888)	0718615 mE	5433665 mN	Aff. Basalte silicifié	Pyrite, pyrrhotine dans les fractures	Oui	Anomalie de sol en Cu secteur tranchée E-2
RB 1103	0718615 mE	5433665 mN	Aff. Grès calcareux de couleur pâle		Non	Anomalie de sol en Cu secteur tranchée E-2
RB 1104	0718615 mE	5433665 mN	Aff. Basalte silicifié		Non	Anomalie de sol en Cu secteur tranchée E-2
RB1105	0718615 mE	5433665 mN	Aff. Basalte silicifié	Pyrite, pyrrhotine, trace de chalcopyrite dans les fractures	Non	Anomalie de sol en Cu secteur tranchée E-2
RB 1106	0718488 mE	5433654 mN	Aff. Basalte silicifié, partiellement magnétique, amygdules de chlorite et épidote		Non	Tranchée E-2

Tableau Description des échantillons

Projet : Mines Madeleine Ouest no. 2001-B3-901

No. Échan.	Localisation UTM NAD 27		Description	Minéralisation visible	Analyse	Remarque
RB 1107 (47889)	0714674 mE	5431375 mN	Aff. Grauwacke rouge, magnétique		Oui	Tranchée C. Vérification du contenu en cuivre. Échantillon prélevé près du contact avec un siltstone gris minéralisé voir éch. RB 1080 (47875)
RB 1108 (47890)	0714674 mE	5431385 mN	Aff. Grauwacke rouge avec des interlits conglomératique, fragments d'origine diverses		Oui	Tranchée C. Vérification du contenu en cuivre
RB 1109 (47891)	0714714 mE	5431334 mN	Aff. Mudstone vert et Grauwacke rouge rythmé à dominance rouge		Oui	Tranchée C. Vérification du contenu en cuivre

ANNEXE 4

Tableau des résultats d'analyses des échantillons choisies

Projet Mines Madeleine Ouest

No. 2001-B3-901

Tableau des résultats d'analyses des échantillons choisies

Projet : Mines Madeleine Ouest no. 2001-B3-901

Rapport du laboratoire C01-62720.0 Chimitec Bondar Clegg

No échan.	Au30 ppb	Ag ppm	Cu ppm	Cu %	Pb ppm	Pb %	Zn ppm	Zn %	Mo ppm	Ni ppm	Co ppm	Cd ppm	Bi ppm	As ppm	Sb ppm	Fe %	Mn ppm	Te ppm
47866	5	1.2	337	-9	2330		8704		3	80	90	95.1	-5	135	-5	5.74	3539	-10
47867	7	3.3	260	-9	10000	1.45	10000	2.49	3	57	74	254.4	-5	92	7	4.89	2936	-10
47868	13	7.3	899	-9	10000	2.98	10000	5.87	3	29	44	618.8	-5	76	18	5.64	3231	30
47869	-5	-0.2	774	-9	200		347		2	7	5	3.7	-5	25	-5	1.17	127	-10
47870	7	2.2	2201	-9	183		197		5	7	3	1.8	-5	14	-5	1.33	55	-10
47871	9	2.0	3761	-9	312		139		8	6	3	1.5	-5	9	6	1.27	48	-10
47872	6	-0.2	132	-9	77		332		2	59	38	1.5	-5	-5	-5	9.72	100	-10
47873	-5	-0.2	173	-9	25		474		2	54	55	0.8	-5	-5	-5	+10.00	296	-10
47874	-5	-0.2	605	-9	21		330		2	53	48	0.6	-5	-5	-5	+10.00	283	-10
47875	10	1.6	10000	3.28	26		328		-1	35	40	0.3	-5	-5	-5	3.55	317	-10
47876	5	-0.2	992	-9	28		61		2	14	8	0.4	-5	-5	-5	2.27	408	-10
47877	6	-0.2	2877	-9	5		70		2	21	22	0.4	-5	-5	-5	+10.00	218	-10
47878	5	1.0	293	-9	10000	1.75	10000	5.27	1	91	99	23.5	-5	315	30	5.75	1719	19
47879	5	1.7	627	-9	10000	3.12	10000	3.97	3	40	87	56.9	-5	146	13	6.74	1541	11
47880	7	1.7	30	-9	10000	2.87	10000	20.86	-1	31	41	728.2	-5	7	62	4.79	3397	33
47881	-5	1.3	91	-9	10000	2.64	9331		1	115	158	251.2	-5	145	-5	8.27	4018	-10
47882	-5	0.8	81	-9	258		1401		1	28	60	24.5	-5	14	-5	6.82	4702	-10
47883	6	0.9	843	-9	7980		10000	2.17	2	25	37	96.1	-5	18	-5	5.81	1977	-10
47884	6	-0.2	96	-9	145		582		2	56	43	3.0	-5	39	-5	6.18	281	-10
47885	-5	-0.2	26	-9	62		107		2	36	12	1.0	-5	-5	-5	3.93	281	-10
47886	-5	-0.2	82	-9	28		78		-1	21	14	0.4	-5	-5	-5	5.60	272	-10

Tableau des résultats d'analyses des échantillons choisies

Projet : Mines Madeleine Ouest no. 2001-B3-901

Rapport du laboratoire C01-62720.0 Chimitec Bondar Clegg

No échan.	Au30 ppb	Ag ppm	Cu ppm	Cu %	Pb ppm	Pb %	Zn ppm	Zn %	Mo ppm	Ni ppm	Co ppm	Cd ppm	Bi ppm	As ppm	Sb ppm	Fe %	Mn ppm	Te ppm
47887	-5	-0.2	26	-9	57		163		2	37	13	0.7	-5	9	-5	4.06	232	-10
47888	6	-0.2	28	-9	24		127		1	31	27	0.6	-5	36	-5	5.03	449	-10
47889	-5	-0.2	22	-9	15		127		2	49	39	0.3	-5	-5	-5	+10.00	162	-10
47890	6	-0.2	40	-9	14		132		2	52	43	0.4	-5	-5	-5	+10.00	1561	-10
47891	7	-0.2	20	-9	15		38		2	18	12	-0.2	-5	-5	-5	7.02	725	-10

Tableau des résultats d'analyses des échantillons choisies

Projet : Mines Madeleine Ouest no. 2001-B3-901

Rapport du laboratoire C01-62720.0 Chimitec Bondar Clegg

No échan.	Ba ppm	Cr ppm	V ppm	Sn ppm	W ppm	La ppm	Al %	Mg %	Ca %	Na %	K %	Sr ppm	Y ppm	Ga ppm	Li ppm	Nb ppm	Sc ppm	Ta ppm	Ti %	Zr ppm	S %
47866	145	96	29	-20	-20	14	0.43	1.79	9.82	0.01	0.21	250	21	-2	4	-1	-5	-10	-0.010	2	0.32
47867	88	86	19	-20	-20	10	0.32	2.87	9.50	0.01	0.16	255	15	-2	5	-1	-5	-10	-0.010	5	1.61
47868	62	43	15	-20	-20	8	0.30	2.68	9.20	-0.01	0.15	336	16	-2	4	-1	-5	-10	-0.010	4	2.54
47869	24	237	18	-20	-20	13	0.34	0.08	0.16	-0.01	0.19	9	7	-2	2	1	-5	-10	-0.010	13	0.02
47870	32	225	12	-20	-20	4	0.10	0.02	0.08	0.01	0.09	9	2	-2	-1	-1	-5	-10	-0.010	12	0.15
47871	29	252	12	-20	-20	5	0.15	0.03	0.05	-0.01	0.09	3	1	-2	-1	1	-5	-10	-0.010	16	0.05
47872	23	119	139	-20	-20	3	2.20	1.15	0.39	0.07	1.38	20	4	-2	22	11	5	-10	0.173	-1	0.26
47873	42	156	144	-20	-20	17	1.42	0.83	0.22	0.01	0.44	19	7	-2	17	11	5	-10	0.080	2	-0.01
47874	27	122	96	-20	-20	15	1.49	0.80	0.20	-0.01	0.54	13	9	-2	17	7	5	-10	0.085	2	-0.01
47875	14	73	36	-20	-20	6	1.59	1.10	0.12	-0.01	0.36	8	5	-2	20	3	-5	-10	0.051	17	1.03
47876	109	81	17	-20	-20	19	0.92	0.23	1.78	0.01	0.58	74	7	-2	7	1	-5	-10	0.086	15	0.03
47877	54	119	34	-20	-20	63	1.77	0.54	0.54	0.01	0.59	41	35	-2	15	-1	6	-10	0.029	2	-0.01
47878	21	174	56	-20	-20	32	1.81	0.85	1.87	0.01	0.16	48	29	5	15	4	6	-10	0.021	2	0.05
47879	33	170	70	-20	-20	35	2.21	0.72	1.50	-0.01	0.60	48	39	10	21	6	11	-10	0.079	2	0.05
47880	9	27	26	-20	-20	9	1.30	1.54	+10.00	-0.01	0.02	334	20	-2	17	1	-5	-10	0.012	3	8.99
47881	45	58	106	-20	-20	34	2.71	1.70	+10.00	0.01	0.23	234	55	-2	26	8	10	-10	0.027	-1	0.42
47882	41	25	39	-20	-20	13	1.89	1.76	+10.00	-0.01	-0.01	438	16	-2	16	2	5	-10	0.045	3	0.11
47883	15	184	29	-20	-20	11	1.63	0.92	7.05	-0.01	0.12	137	16	5	14	2	-5	-10	0.043	8	0.26
47884	24	135	169	-20	-20	8	1.96	2.22	1.19	0.24	0.39	32	15	-2	36	14	10	-10	0.124	-1	2.20
47885	102	180	50	-20	-20	12	7.11	1.23	4.42	0.50	1.03	250	6	12	42	4	7	-10	0.146	18	0.89

Tableau des résultats d'analyses des échantillons choisies

Projet : Mines Madeleine Ouest no. 2001-B3-901

Rapport du laboratoire C01-62720.0 Chimitec Bondar Clegg

No échan.	Ba ppm	Cr ppm	V ppm	Sn ppm	W ppm	La ppm	Al %	Mg %	Ca %	Na %	K %	Sr ppm	Y ppm	Ga ppm	Li ppm	Nb ppm	Sc ppm	Ta ppm	Ti %	Zr ppm	S %
47886	48	144	189	-20	-20	4	0.85	0.64	1.24	0.05	0.11	102	7	-2	16	17	-5	-10	0.197	-1	0.01
47887	40	191	64	-20	-20	16	5.88	1.28	2.61	0.60	1.17	142	6	12	31	4	9	-10	0.161	19	0.88
47888	35	95	168	-20	-20	8	2.22	2.20	1.24	0.20	0.13	21	18	3	20	14	13	-10	0.090	-1	0.20
47889	26	133	121	-20	-20	14	1.23	0.52	0.14	-0.01	0.59	13	10	-2	14	9	6	-10	0.116	2	-0.01
47890	21	166	147	-20	-20	24	1.05	0.46	2.06	-0.01	0.49	107	11	-2	12	11	7	-10	0.098	3	0.01
47891	33	123	59	-20	-20	18	0.89	0.24	3.32	0.01	0.52	174	12	-2	7	4	5	-10	0.118	6	0.02

ANNEXE 5

Tableau des résultats d'analyses de l'échantillonnage par éclats

Projet Mines Madeleine Ouest

No. 2001-B3-901

Tableau des résultats d'analyses de l'échantillonnage par éclats

TRANCHÉE C

Projet : Mines Madeleine Ouest 2001-B3-901 Rapport du laboratoire no. C01-62719.0 Chimitec Bondar Clegg

Numéro d'échantillon	Cu ppm	Cu % (0.1)	Cu % (0.01)	Cu % moyen	Pb ppm	Zn ppm	Co ppm	Ag ppm
47821	49				11	105	18	-0.1
47822	1360	0.1	0.14		12	76	27	-0.1
47823	1488	0.1	0.15		11	65	22	-0.1
47824	17271	1.7	1.73		8	135	33	0.7
47825	8757	0.9	0.88		7	104	27	0.5
47826	11670	1.2	1.17		8	96	21	1.0
47827	919	0.1	0.09		8	83	32	-0.1
47828	1551	0.2	0.16	**0.59 % / 7m ZONE A**	9	89	29	-0.1
47829	932	0.1	0.09		8	69	23	-0.1
47830	568	0.1	0.06		8	67	23	-0.1
47831	431		0.04		7	77	23	-0.1
47832	161		0.02		9	123	30	-0.1
47833	10397	1.0	1.04		7	91	22	0.7
47834	8955	0.9	0.90		7	96	21	0.7
47835	18079	1.8	1.81		11	104	27	2.4
47836	261		0.03		13	61	21	-0.1
47837	122		0.01		16	55	21	-0.1
47838	255		0.03		14	53	21	-0.1
47839	10171	1.0	1.02	0.70 % / 1m ZONE B	30	70	22	0.5
47840	3727	0.4	0.37		10	65	18	0.3
47841	529		0.05		15	87	27	-0.1
47842	337		0.03		17	47	18	-0.1
47843	20000	2.8	2.94		12	62	16	0.8

Tableau des résultats d'analyses de l'échantillonnage par éclats

TRANCHÉE C

Projet : Mines Madeleine Ouest 2001-B3-901 Rapport du laboratoire no. C01-62719.0 Chimitec Bondar Clegg

Numéro d'échantillon	Cu ppm	Cu % (0.1)	Cu % (0.01)	Cu % moyen	Pb ppm	Zn ppm	Co ppm	Ag ppm
47844	20000	2.3	2.31		11	70	22	0.6
47845	4762	0.5	0.48		8	62	18	-0.1
47846	4311	0.4	0.43		10	68	20	-0.1
47847	2927	0.3	0.29		9	66	19	-0.1
47848	1089	0.1	0.11		7	59	14	-0.1
47849	1712	0.2	0.17	**0.65 % / 9m**	8	57	15	-0.1
47850	2617	0.3	0.26	**ZONE C**	14	72	17	-0.1
47851	5888	0.6	0.59		8	68	19	0.2
47852	3752	0.4	0.37		10	58	15	-0.1
47853	1407	0.1	0.14		6	43	12	-0.1
47854	2505	0.2	0.25		7	47	13	-0.1
47855	951	0.1	0.09		8	51	14	-0.1
47856	673	0.1	0.07		11	49	13	-0.1
47857	9180	0.9	0.92		11	52	15	0.2
47858	15342	1.5	1.53		10	72	19	0.4
47859	6939	0.7	0.69		17	40	13	0.2
47860	2500	0.2	0.25		6	92	24	1.2
47861	2228	0.2	0.22		7	96	21	2.5
47862	2586	0.3	0.26	**0.23 % / 3m**	8	93	20	1.0
47863	5196	0.5	0.52	**ZONE D**	8	98	20	0.7
47864	894	0.1	0.09		8	80	20	0.4
47865	410		0.04		5	77	17	0.5

Tableau des résultats d'analyses de l'échantillonnage par éclats

TRANCHÉE H-2

Projet : Mines Madeleine Ouest no. 2001-B3-901

Rapport du laboratoire C01-62720.0 Chimitec Bondar Clegg

No échan.	Au30 ppb	Ag ppm	Cu ppm	Cu %	Pb ppm	Pb %	Pb % moyen	Zn ppm	Zn %	Zn % moyen	Mo ppm	Ni ppm	Co ppm	Cd ppm	Bi ppm	As ppm	Sb ppm	Fe %	Mn ppm	Te ppm
47806	-5	0.5	903	-9	15	0.002		2223			2	38	90	1.2	-5	8	-5	8.27	1689	-10
47807	-5	-0.2	794	-9	3018	0.030		3627			3	27	47	17.3	-5	51	-5	5.95	3875	-10
47808	-5	0.3	4128	-9	1245	0.012	**3.5% / 2,5m**	531		**0.1 % / 2,5m**	4	48	77	4.1	-5	109	-5	6.87	1826	-10
47809	-5	1.5	294	-9	10000	5.040		186			4	51	139	5.0	-5	134	-5	1.63	647	-10
47810	-5	4.9	1912	-9	10000	12.420		77			4	26	52	3.7	-5	106	17	1.37	414	-10
47811	-5	-0.2	621	-9	280			91			2	11	11	2.7	-5	275	-5	1.29	250	-10
47812	-5	-0.2	414	-9	55			74			1	9	7	2.1	-5	200	-5	1.09	202	-10
47813	-5	0.5	264	-9	750			9465			2	35	65	63.9	-5	87	-5	7.74	5784	-10
47814	-5	1.4	528	-9	10000	1.67		10000	7.07		-1	58	80	355.9	-5	71	10	9.29	5401	26
47815	10	1.5	175	-9	10000	3.50		10000	9.75		-1	68	52	503.3	-5	29	39	5.06	2191	25
47816	13	1.1	318	-9	10000	3.51	**3.9 % / 3m**	10000	4.51	**5.4 % / 3m**	2	57	42	190.7	-5	67	21	3.86	920	10
47817	18	1.9	607	-9	10000	5.88		10000	7.95		2	68	49	351.6	-5	110	44	5.12	944	26
47818	35	4.3	5557	-9	10000	7.50		10000	2.84		4	38	42	114.7	-5	365	18	7.02	643	-10
47819	14	2.6	6318	-9	10000	1.20		4292			19	41	61	11.4	-5	636	-5	9.80	1590	-10

Tableau des résultats d'analyses de l'échantillonnage par éclats

TRANCHÉE H-2

Projet : Mines Madeleine Ouest no. 2001-B3-901

Rapport du laboratoire C01-62720.0 Chimitec Bondar Clegg

No échan.	Ba ppm	Cr ppm	V ppm	Sn ppm	W ppm	La ppm	Al %	Mg %	Ca %	Na %	K %	Sr ppm	Y ppm	Ga ppm	Li ppm	Nb ppm	Sc ppm	Ta ppm	Ti %	Zr ppm	S %
47806	13	132	128	-20	-20	6	2.70	1.10	5.30	0.04	0.26	42	16	-2	18	10	9	-10	0.115	-1	0.61
47807	42	233	44	-20	-20	19	1.72	0.97	0.81	-0.01	0.05	18	12	-2	14	2	6	-10	0.036	7	0.02
47808	64	212	57	-20	-20	24	2.22	0.67	0.82	-0.01	0.74	29	22	10	16	5	9	-10	0.093	3	0.05
47809	58	178	55	-20	-20	20	0.74	0.34	0.80	0.01	0.25	26	10	2	6	5	5	-10	0.056	9	0.46
47810	41	131	31	-20	-20	12	0.38	0.16	1.00	-0.01	0.12	44	8	-2	3	3	-5	-10	0.037	34	1.35
47811	47	217	30	-20	-20	29	0.42	0.11	0.10	-0.01	0.22	6	8	-2	3	3	-5	-10	-0.010	16	0.04
47812	48	200	30	-20	-20	27	0.46	0.14	0.13	-0.01	0.21	7	7	-2	4	3	-5	-10	-0.010	14	0.02
47813	21	61	66	-20	-20	9	1.73	3.82	+10.00	-0.01	0.07	604	13	-2	23	4	8	-10	0.024	2	0.07
47814	16	51	71	-20	-20	7	3.08	3.42	+10.00	-0.01	0.04	285	15	3	37	4	11	-10	0.046	9	0.94
47815	47	142	48	-20	-20	10	1.67	0.85	6.41	-0.01	0.11	238	18	4	18	3	7	-10	0.041	4	2.69
47816	29	208	37	-20	-20	13	1.25	0.51	0.68	-0.01	0.13	27	14	5	13	3	6	-10	0.044	6	0.18
47817	26	171	48	-20	-20	12	1.53	0.59	0.78	-0.01	0.15	35	16	6	14	5	7	-10	0.051	8	0.99
47818	26	122	63	-20	-20	24	1.94	0.72	0.80	-0.01	0.26	37	20	7	13	6	10	-10	0.049	3	0.23
47819	25	195	115	-20	-20	29	2.01	0.93	0.88	-0.01	0.21	47	20	-2	16	10	12	-10	0.034	2	0.13

LÉGENDE

Cambro-ordovicien
Formation de Dalibaire

Tranchée C

1 Grès gris moyen, moyennement à fortement magnétique

2 Grauwacke rouge, moyennement à fortement magnétique

3 Siltstone gris moyen avec nodules ovale de magnétite de 0.5 cm X 1.0 cm et finement dissiminée.

4 Grauwacke gris foncé, magnétique.

6 Mudstone gris moyen, interlits minces d'environ 2 mm d'un mélange de magnétite et de chalcocine.

7 Argile schisteuse, gris foncée à noir.

8 Grès gris foncé, magnétique, interlits de conglomérat à fragments monogéniques d'origine volcanique dans une pâte fine.

9 Argile grise foncée verdâtre tendre.

10 Argile verte

Tranchée E-1

12 Basalte vert foncé, partiellement magnétique, amygdules de chlorite et épidote.

13 Grès quartzitique, calcareux, de couleur crème.

14 Mudstone silicifié, gris moyen.

Tranchée G-1

15 Mudstone gris vert, dureté moyenne.

16 Calcaire dolomitisé à patine orangé devenant conglomératique près du contact supérieur avec des traces de galène.

17 Alternance de calcaire dolomitisé et d'argile en banc d'épaisseur variant de 6 cm à 40 cm.

18 Intrusif basique homogène, gris foncé, magnétique par endroit, pyrite fine dissiminée.

19 Argile schisteuse, présence de graphite sur les plans de glissement intraformationnelles.

20 Intrusif intermédiaire, phénocristaux en bâton vert pâle, porphyre de quartz blanc dans une pâte grise pâle.

21 Interlits de mudstone gris et de grès pâle très fracturé

22 Argile schisteuse, phyllade

Tranchée G-2

23 Calcaire rubanné gris moyen

24 Interlits très turbulent de mustone, argile et calcaire.

25 Schiste ardoisier gris foncé, présence de rouille sur les fractures.

Tranchée H-1 et H-2

26 Mudstone gris foncé

27 Grès quartzitique crème légèrement rosé, trace de chalcopyrite et de malachite dans les fractures surtout près du contact supérieur.

27A Grès quartzitique fortement cisaillé, minéralisé en galène avec des traces de chalcopyrite.

28 Basalte vert foncé à noir, localement non magnétique

29 Argilite foncé

30 Calcaire argileux noir

Tranchée B

31 Siltstone gris foncé localement calcareux, fortement magnétique quelques traces de pyrite.

32 Interlits de siltstone et de grès gris foncé localement calcareux , certains horizons fortement magnétique. Le degré de magnétisme diminue progressivement vers le sud.

33 Quartzite crème, tâches de rouille disiminées (hématite)

34 Intrusif basique vert foncé, porphyres de quartz, pyrite dissiminée.

35 Interlits de grauwacke et de conglomérats rouge, magnétique.

36 Grauwacke rouge, magnétique

37 Mudstone gris verdâtre.

Tranchée E

1 Cornéenne gris moyen, fortement silicifié, épidotisé, pyrrhotine finement dissiminée et le long des fractures.

2 Mudstone noir silicifié, près de 1% de pyrite et pyrrhotine dissiminées, fractures rouillées, quelques veines de calcite.

3 Intrusif basique silicifié foncé, trace de pyrite, pyrrhotine et chalcopyrite le long des fractures.

4 Basalte localement magnétique, pyrite dans les fractures.

Tranchée I-1

1 Calcaire silteux gris moyen, mince interlits de couleur plus pâle, légèrement dolomitisé, trace de chalcopyrite et malachite sur plans de fractures.

2 Intrusif basique, foncé trace de malachite plus abondante près du contact.

3 Calcaire silteux, gris moyen interlité avec une argile noir. Le litage devient plissé et plusieurs traces de glissement entre les unités sont visibles. Plusieurs amas de calcite recristalisée sont visible dans les bancs de calcaire. Trace de pyrite dissiminée.

4 Calcaire argileux gris foncé à noir, nombreux plans de fractures graphiteux, quelques veines de quartz et calcite, pyrite nodulaire largement dispersées.

5 Interlits très turbulent de calcaire argileux et de calcaire silteux (turbidite) de couleur foncé.

6 Calcaire fortement dolomitisé, veines de calcite noir

7 Intrusif basique noir, bâtonnets de feldspath paglioclase, yeux rond de calcite blanche.

8 Argile gris foncé à noir très cisaillé, nombreux plans de fractures graphiteux, quelques veines de quartz et calcite.

CHIMITEC
BONDAR CLEGG

Rapport Lab Geochimie
Geochemical Lab Report

CLIENT : CRCD GASPESIE LES ILES (FRAPM) — PROJET: AUCUN

RAPPORT: C01-62720.0 (COMPLET) — DATE RECU : 03-OCT-01 — DATE DE L'IMPRESSION: 1-NOV-01 — PAGE 1A(1/ 4)

NUMÉRO DE L'ÉCHANTILLON	ÉLÉMENT UNITÉS	Au30 PPB	Ag PPM	Cu PPM	Cu PCT	Pb PPM	Pb PCT	Zn PPM	Zn PCT	Mo PPM	Ni PPM	Co PPM	Cd PPM	Bi PPM	As PPM	Sb PPM	Fe PCT	Mn PPM	Te PPM	Ba PPM	Cr PPM	V PPM	Sn PPM	W PPM	La PPM	Al PCT	Mg PCT	Ca PCT	Na PCT	K PCT	Sr PPM	Y PPM	Ga PPM	Li PPM	Nb PPM	Sc PPM
47806		<5	0.5	903		15		2223		2	38	90	1.2	<5	8	<5	8.27	1689	<10	13	132	128	<20	<20	6	2.70	1.10	5.30	0.04	0.26	42	16	<2	18	10	9
47807		<5	<.2	794		3018		3627		3	27	47	17.3	<5	51	<5	5.95	3875	<10	42	233	44	<20	<20	19	1.72	0.97	0.81	<.01	0.05	18	12	<2	14	2	6
47808		<5	0.3	4128		1245		531		4	48	77	4.1	<5	109	<5	6.87	1826	<10	64	212	57	<20	<20	24	2.22	0.67	0.82	<.01	0.74	29	22	10	16	5	9
47809		<5	1.5	294		>10000	5.04	186		4	51	139	5.0	<5	134	<5	1.63	647	<10	58	178	55	<20	<20	20	0.74	0.34	0.80	0.01	0.25	26	10	2	6	5	5
47810		<5	4.9	1912		>10000	12.42	77		4	26	52	3.7	<5	106	17	1.37	414	<10	41	131	31	<20	<20	12	0.38	0.16	1.00	<.01	0.12	44	8	<2	3	3	<5
47811		<5	<.2	621		280		91		2	11	11	2.7	<5	275	<5	1.29	250	<10	47	217	30	<20	<20	29	0.42	0.11	0.10	<.01	0.22	6	8	<2	3	3	<5
47812		<5	<.2	414		55		74		1	9	7	2.1	<5	200	<5	1.09	202	<10	48	200	30	<20	<20	27	0.46	0.14	0.13	<.01	0.21	7	7	<2	4	3	<5
47813		<5	0.5	264		750		9465		2	35	65	63.9	<5	87	<5	7.74	5784	<10	21	61	66	<20	<20	9	1.73	3.82	>10.00	<.01	0.07	604	13	<2	23	4	8
47814		<5	1.4	528		>10000	1.67	>10000	7.07	<1	58	80	355.9	<5	71	10	9.29	5401	26	16	51	71	<20	<20	7	3.08	3.42	>10.00	<.01	0.04	285	15	3	37	4	11
47815		10	1.5	175		>10000	3.50	>10000	9.75	<1	68	52	503.3	<5	29	39	5.06	2191	25	47	142	48	<20	<20	10	1.67	0.85	6.41	<.01	0.11	238	18	4	18	3	7
47816		13	1.1	318		>10000	3.51	>10000	4.51	2	57	42	190.7	<5	67	21	3.86	920	10	29	208	37	<20	<20	13	1.25	0.51	0.68	<.01	0.13	27	14	5	13	3	6
47817		18	1.9	607		>10000	5.88	>10000	7.95	2	68	49	351.6	<5	110	44	5.12	944	26	26	171	48	<20	<20	12	1.53	0.59	0.78	<.01	0.15	35	16	6	14	5	7
47818		35	4.3	5557		>10000	7.50	>10000	2.84	4	38	42	114.7	<5	365	18	7.02	643	<10	26	122	63	<20	<20	24	1.94	0.72	0.80	<.01	0.26	37	20	7	13	6	10
47819		14	2.6	6318		>10000	1.20	4292		19	41	61	11.4	<5	636	<5	9.80	1590	<10	25	195	115	<20	<20	29	2.01	0.93	0.88	<.01	0.21	47	20	<2	16	10	12
47866		5	1.2	337		2330		8704		3	80	90	95.1	<5	135	<5	5.74	3539	<10	145	96	29	<20	<20	14	0.43	1.79	9.82	0.01	0.21	250	21	<2	4	<1	<5
47867		7	3.3	260		>10000	1.45	>10000	2.49	3	57	74	254.4	<5	92	7	4.89	2936	<10	88	86	19	<20	<20	10	0.32	2.87	9.50	0.01	0.16	255	15	<2	5	<1	<5
47868		13	7.3	899		>10000	2.98	>10000	5.87	3	29	44	618.8	<5	76	18	5.64	3231	30	62	43	15	<20	<20	8	0.30	2.68	9.20	<.01	0.15	336	16	<2	4	<1	<5
47869		<5	<.2	774		200		347		2	7	5	3.7	<5	25	<5	1.17	127	<10	24	237	18	<20	<20	13	0.34	0.08	0.16	<.01	0.19	9	7	<2	2	1	<5
47870		7	2.2	2201		183		197		5	7	3	1.8	<5	14	<5	1.33	55	<10	32	225	12	<20	<20	4	0.10	0.02	0.08	0.01	0.09	9	2	<2	<1	<1	<5
47871		9	2.0	3761		312		139		8	6	3	1.5	<5	9	6	1.27	48	<10	29	252	12	<20	<20	5	0.15	0.03	0.05	<.01	0.09	3	1	<2	<1	1	<5
47872		6	<.2	132		77		332		2	59	38	1.5	<5	<5	<5	9.72	100	<10	23	119	139	<20	<20	3	2.20	1.15	0.39	0.07	1.38	20	4	<2	22	11	5
47873		<5	<.2	173		25		474		2	54	55	0.8	<5	<5	<5	>10.00	296	<10	42	156	144	<20	<20	17	1.42	0.83	0.22	0.01	0.44	19	7	<2	17	11	5
47874		<5	<.2	605		21		330		2	53	48	0.6	<5	<5	<5	>10.00	283	<10	27	122	96	<20	<20	15	1.49	0.80	0.20	<.01	0.54	13	9	<2	17	7	5
47875		10	1.6	>10000	3.28	26		328		<1	35	40	0.3	<5	<5	<5	3.55	317	<10	14	73	36	<20	<20	6	1.59	1.10	0.12	<.01	0.36	8	5	<2	20	3	<5
47876		5	<.2	992		28		61		2	14	8	0.4	<5	<5	<5	2.27	408	<10	109	81	17	<20	<20	19	0.92	0.23	1.78	0.01	0.58	74	7	<2	7	1	<5
47877		6	<.2	2877		5		70		2	21	22	0.4	<5	<5	<5	>10.00	218	<10	54	119	34	<20	<20	63	1.77	0.54	0.54	0.01	0.59	41	35	<2	15	<1	6
47878		5	1.0	293		>10000	1.75	>10000	5.27	1	91	99	23.5	<5	315	30	5.75	1719	19	21	174	56	<20	<20	32	1.81	0.85	1.87	0.01	0.16	48	29	5	15	4	6
47879		5	1.7	627		>10000	3.12	>10000	3.97	3	40	87	56.9	<5	146	13	6.74	1541	11	33	170	70	<20	<20	35	2.21	0.72	1.50	<.01	0.60	48	39	10	21	6	11
47880		7	1.7	30		>10000	2.87	>10000	20.86	<1	31	41	728.2	<5	7	62	4.79	3397	33	9	27	26	<20	<20	9	1.30	1.54	>10.00	<.01	0.02	334	20	<2	17	1	<5
47881		<5	1.3	91		>10000	2.64	9331		1	115	158	251.2	<5	145	<5	8.27	4018	<10	45	58	106	<20	<20	34	2.71	1.70	>10.00	0.01	0.23	234	55	<2	26	8	10

CLIENT : CRCD GASPESIE LES ILES (FRAPM) PROJET: AUCUN
RAPPORT: C01-62720.0 (COMPLET) DATE RECU : 03-OCT-01 DATE DE L'IMPRESSION: 1-NOV-01 PAGE 1B(2/ 4)

NUMÉRO DE L'ÉCHANTILLON	ÉLÉMENT UNITÉS	Ta PPM	Ti PCT	Zr PPM	S PCT
47806		<10	.115	<1	0.61
47807		<10	.036	7	0.02
47808		<10	.093	3	0.05
47809		<10	.056	9	0.46
47810		<10	.037	34	1.35
47811		<10	<.01	16	0.04
47812		<10	<.01	14	0.02
47813		<10	.024	2	0.07
47814		<10	.046	9	0.94
47815		<10	.041	4	2.69
47816		<10	.044	6	0.18
47817		<10	.051	8	0.99
47818		<10	.049	3	0.23
47819		<10	.034	2	0.13
47866		<10	<.01	2	0.32
47867		<10	<.01	5	1.61
47868		<10	<.01	4	2.54
47869		<10	<.01	13	0.02
47870		<10	<.01	12	0.15
47871		<10	<.01	16	0.05
47872		<10	.173	<1	0.26
47873		<10	.080	2	<.01
47874		<10	.085	2	<.01
47875		<10	.051	17	1.03
47876		<10	.086	15	0.03
47877		<10	.029	2	<.01
47878		<10	.021	2	0.05
47879		<10	.079	2	0.05
47880		<10	.012	3	8.99
47881		<10	.027	<1	0.42

CLIENT : CRCD GASPESIE LES ILES (FRAPM) PROJET: AUCUN
RAPPORT: C01-62720.0 (COMPLET) DATE RECU : 03-OCT-01 DATE DE L'IMPRESSION: 1-NOV-01 PAGE 2A(3/ 4)

NUMÉRO DE L'ÉCHANTILLON	ÉLÉMENT UNITÉS	Au30 PPB	Ag PPM	Cu PPM	Cu PCT	Pb PPM	Pb PCT	Zn PPM	Zn PCT	Mo PPM	Ni PPM	Co PPM	Cd PPM	Bi PPM	As PPM	Sb PPM	Fe PCT	Mn PPM	Te PPM	Ba PPM	Cr PPM	V PPM	Sn PPM	W PPM	La PPM	Al PCT	Mg PCT	Ca PCT	Na PCT	K PCT	Sr PPM	Y PPM	Ga PPM	Li PPM	Nb PPM	Sc PPM
47882		<5	0.8	81		258		1401		1	28	60	24.5	<5	14	<5	6.82	4702	<10	41	25	39	<20	<20	13	1.89	1.76	>10.00	<.01	<.01	438	16	<2	16	2	5
47883		6	0.9	843		7980		>10000	2.17	2	25	37	96.1	<5	18	<5	5.81	1977	<10	15	184	29	<20	<20	11	1.63	0.92	7.05	<.01	0.12	137	16	5	14	2	<5
47884		6	<.2	96		145		582		2	56	43	3.0	<5	39	<5	6.18	281	<10	24	135	169	<20	<20	8	1.96	2.22	1.19	0.24	0.39	32	15	<2	36	14	10
47885		<5	<.2	26		62		107		2	36	12	1.0	<5	<5	<5	3.93	281	<10	102	180	50	<20	<20	12	7.11	1.23	4.42	0.50	1.03	250	6	12	42	4	7
47886		<5	<.2	82		28		78		<1	21	14	0.4	<5	<5	<5	5.60	272	<10	48	144	189	<20	<20	4	0.85	0.64	1.24	0.05	0.11	102	7	<2	16	17	<5
47887		<5	<.2	26		57		163		2	37	13	0.7	<5	9	<5	4.06	232	<10	40	191	64	<20	<20	16	5.88	1.28	2.61	0.60	1.17	142	6	12	31	4	9
47888		6	<.2	28		24		127		1	31	27	0.6	<5	36	<5	5.03	449	<10	35	95	168	<20	<20	8	2.22	2.20	1.24	0.20	0.13	21	18	3	20	14	13
47889		<5	<.2	22		15		127		2	49	39	0.3	<5	<5	<5	>10.00	162	<10	26	133	121	<20	<20	14	1.23	0.52	0.14	<.01	0.59	13	10	<2	14	9	6
47890		6	<.2	40		14		132		2	52	43	0.4	<5	<5	<5	>10.00	1561	<10	21	166	147	<20	<20	24	1.05	0.46	2.06	<.01	0.49	107	11	<2	12	11	7
47891		7	<.2	20		15		38		2	18	12	<0.2	<5	<5	<5	7.02	725	<10	33	123	59	<20	<20	18	0.89	0.24	3.32	0.01	0.52	174	12	<2	7	4	5
47892		<5	<.2	5		12		24		2	9	2	<0.2	<5	<5	<5	0.51	114	<10	8	196	7	<20	<20	<1	0.15	0.07	0.02	<.01	0.02	2	<1	<2	2	<1	<5

CLIENT : CRCD GASPESIE LES ILES (FRAPM) PROJET: AUCUN
RAPPORT: C01-62720.0 (COMPLET) DATE RECU : 03-OCT-01 DATE DE L'IMPRESSION: 1-NOV-01 PAGE 2B(4/ 4)

NUMÉRO DE L'ÉCHANTILLON	ÉLÉMENT UNITÉS	Ta PPM	Ti PCT	Zr PPM	S PCT
47882		<10	.045	3	0.11
47883		<10	.043	8	0.26
47884		<10	.124	<1	2.20
47885		<10	.146	18	0.89
47886		<10	.197	<1	0.01
47887		<10	.161	19	0.88
47888		<10	.090	<1	0.20
47889		<10	.116	2	<.01
47890		<10	.098	3	0.01
47891		<10	.118	6	0.02
47892		<10	<.01	2	<.01

CHIMITEC
BONDAR CLEGG

Rapport Lab Geochimie
Geochemical Lab Report

CLIENT : CRCD GASPESIE LES ILES (FRAPM) PROJET: MADELEINE
RAPPORT: C01-62790.0 (COMPLET) DATE RECU : 09-OCT-01 DATE DE L'IMPRESSION: 25-OCT-01 PAGE 1 DE 1

NUMÉRO DE L'ÉCHANTILLON	ÉLÉMENT UNITÉS	Au30 PPB	Ag PPM	Cu PPM	Pb PPM	Zn PPM	Mo PPM	Ni PPM	Co PPM	Cd PPM	Bi PPM	As PPM	Sb PPM	Fe PCT	Mn PPM	Te PPM	Ba PPM	Cr PPM	V PPM	Sn PPM	W PPM	La PPM	Al PCT	Mg PCT	Ca PCT	Na PCT	K PCT	Sr PPM	Y PPM	Ga PPM	Li PPM	Nb PPM	Sc PPM	Ta PPM	Ti PCT	Zr PPM	S PCT
47166		<5	<.2	19	8	31	9	32	3	<.2	<5	<5	<5	>10.00	438	13	14	250	135	<20	<20	<1	.04	.01	.05	<.01	<.01	2	<1	7	<1	6	<5	<10	<.01	<1	<.01

CHIMITEC
BONDAR CLEGG

Certificat D'Analyse
Assay Lab Report

CLIENT : CRCD GASPESIE LES ILES (FRAPM) PROJET: AUCUN

RAPPORT: C01-62719.0 (COMPLET) DATE RECU: 03-OCT-01 DATE DE L'IMPRESSION: 17-OCT-01

NUMÉRO DE L'ÉCHANTILLON	ÉLÉMENT UNITÉS	Cu PPM	CuOL PCT	Cu PCT	Pb PPM	Zn PPM	Co PPM	Ag PPM
47821		49			11	105	18	<0.1
47822		1360			12	76	27	<0.1
47823		1488			11	65	22	<0.1
47824		17271			8	135	33	0.7
47825		8757			7	104	27	0.5
47826		11670			8	96	21	1.0
47827		919			8	83	32	<0.1
47828		1551			9	89	29	<0.1
47829		932			8	69	23	<0.1
47830		568			8	67	23	<0.1
47831		431			7	77	23	<0.1
47832		161			9	123	30	<0.1
47833		10397			7	91	22	0.7
47834		8955			7	96	21	0.7
47835		18079			11	104	27	2.4
47836		261			13	61	21	<0.1
47837		122			16	55	21	<0.1
47838		255			14	53	21	<0.1
47839		10171			30	70	22	0.5
47840		3727			10	65	18	0.3
47841		529			15	87	27	<0.1
47842		337			17	47	18	<0.1
47843		>20000	2.8	2.94	12	62	16	0.8
47844		>20000	2.3	2.31	11	70	22	0.6
47845		4762			8	62	18	<0.1
47846		4311			10	68	20	<0.1
47847		2927			9	66	19	<0.1
47848		1089			7	59	14	<0.1
47849		1712			8	57	15	<0.1
47850		2617			14	72	17	<0.1
47851		5888			8	68	19	0.2
47852		3752			10	58	15	<0.1
47853		1407			6	43	12	<0.1
47854		2505			7	47	13	<0.1
47855		951			8	51	14	<0.1
47856		673			11	49	13	<0.1
47857		9180			11	52	15	0.2
47858		15342			10	72	19	0.4
47859		6939			17	40	13	0.2
47860		2500			6	92	24	1.2

Chimitec - Bondar Clegg
1322-B rue Harricana, Val d'Or, Québec, J9P 3X6
Tél: (819) 825-0178, Fax: (819) 825-0256

CHIMITEC
BONDAR CLEGG

Certificat D'Analyse
Assay Lab Report

CLIENT : CRCD GASPESIE LES ILES (FRAPM) PROJET: AUCUN

RAPPORT: C01-62719.0 (COMPLET) DATE RECU: 03-OCT-01 DATE DE L'IMPRESSION: 17-OCT-01

NUMÉRO DE L'ÉCHANTILLON	ÉLÉMENT UNITÉS	Cu PPM	CuOL PCT	Cu PCT	Pb PPM	Zn PPM	Co PPM	Ag PPM
47861		2228			7	96	21	2.5
47862		2586			8	93	20	1.0
47863		5196			8	98	20	0.7
47864		894			8	80	20	0.4
47865		410			5	77	17	0.5

Chimitec - Bondar Clegg
1322-B rue Harricana, Val d'Or, Québec, J9P 3X6
Tél: (819) 825-0178, Fax: (819) 825-0256